CIRCUITS ET SYSTEMES ELECTRONIQUES

A IONESCU



Informations



- Notes de cours en vente à la librairie polytechnique (Circuits et systèmes électroniques, Polycopié N 304).
- Copies des slides disponibles sur Moodle
- Exercices : calcul de cas réels

Les bases de l'électronique

Les circuits

A.O

Mult.

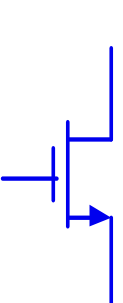
/√√⟨CAN├__

μController

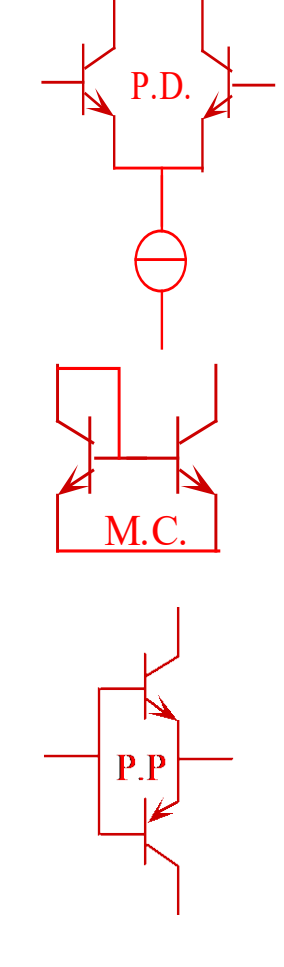


Les composants





Les structures analogiques



Reaction negative ('feedback')

Les fonctions électroniques

Filtrage

Operations Mathématiques

Modulation / Démodulation

Synthèse de fréq.

Conversion

Les systèmes électroniques





Contenu du cours



I. Structures analogiques de base avec TB:

- Les amplificateurs à un transistor (révision)
- Montages 'cascode', 'Push-Pull'
- Sources et mirroirs de courant
- Amplificateurs différentiels

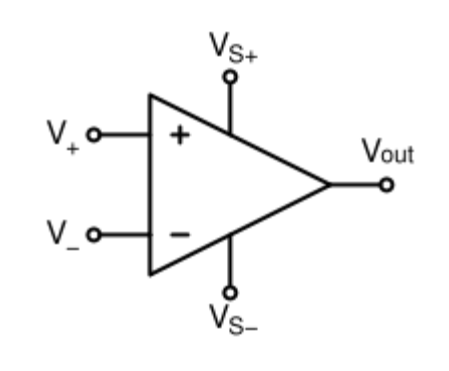
II. Réaction négative et applications, stabilité des systèmes bouclés

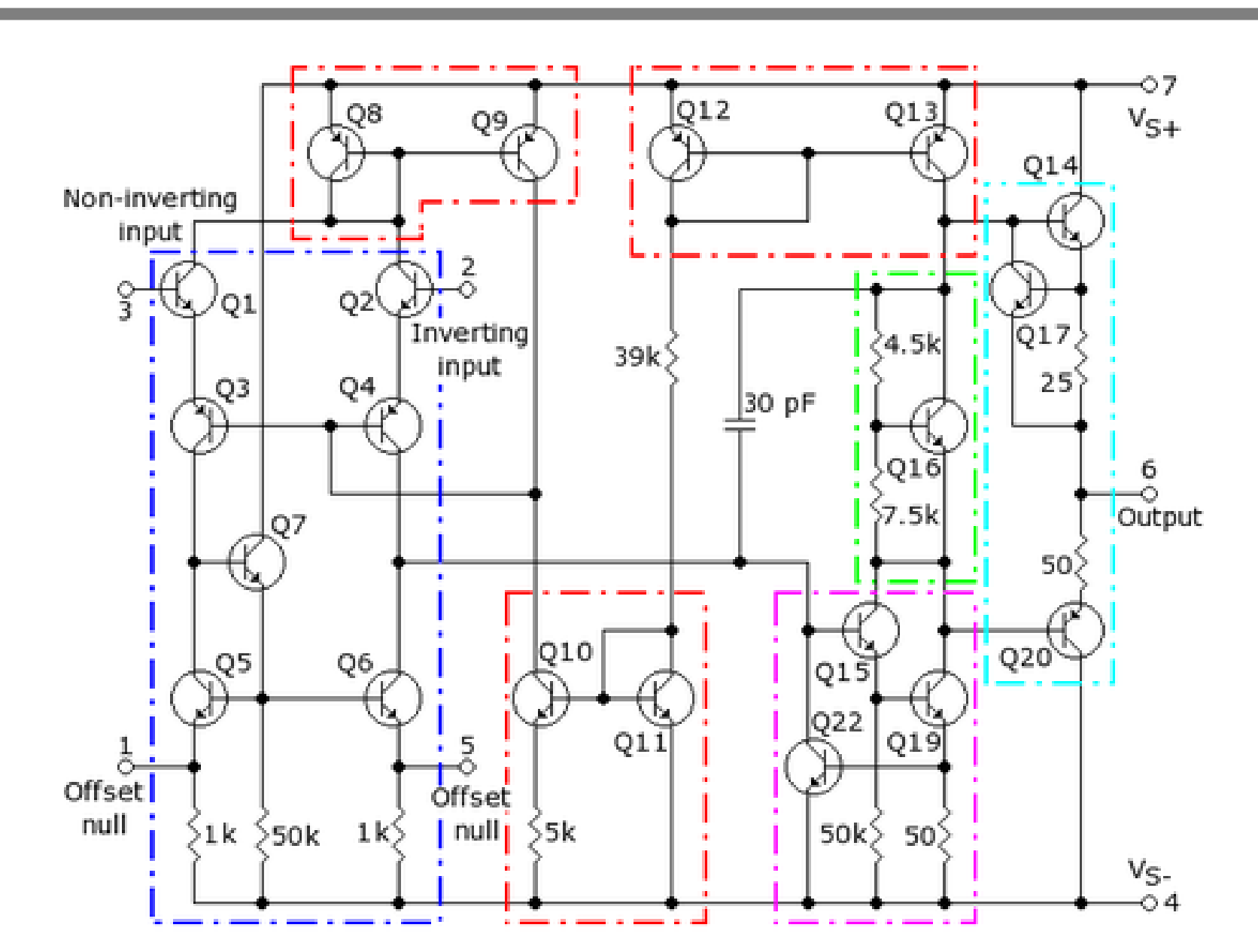
III. Circuits mixtes analogiques et numériques, applications

- Convertisseurs numériques-analogiques (CNA) et analogiques- numériques (CAN)
- Phase Locked Loop (PLL)
- Oscillateurs et oscillateurs commandée en tension (VCO)
- Synthèse de fréquence

EPFL

Circuits complexes: analyse 'par inspection'





I. Structures analogiques de base

Les amplificateurs à un transistor (révision)



Les amplificateurs à un transistor

1. Concepts de base:

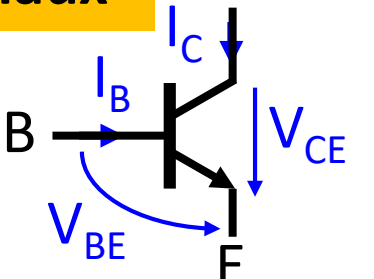
- Mode de fonctionnement 'normal'
- Polarisation, droite de charge statique et point de fonctionnement
- Transconductance
- 2. Modèle 'petits-signaux'
- 3. Caractéristiques des montages fondamentaux
- 4. Calcul direct des résistances d'entrée et de sortie
- 5. Remarques

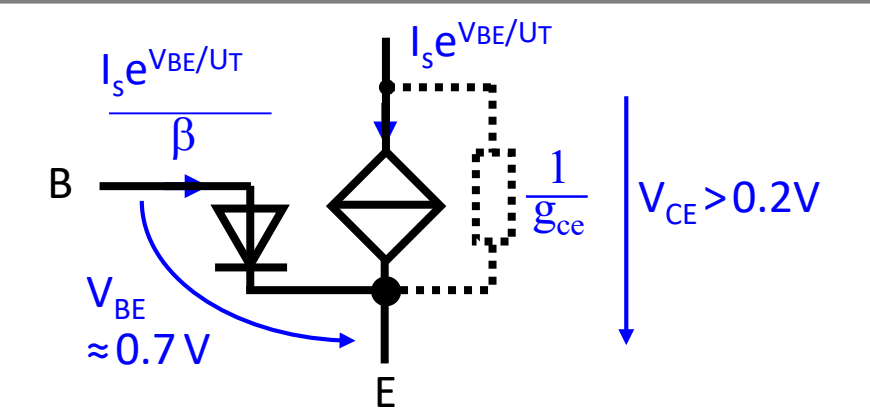


Modèle 'grands signaux'

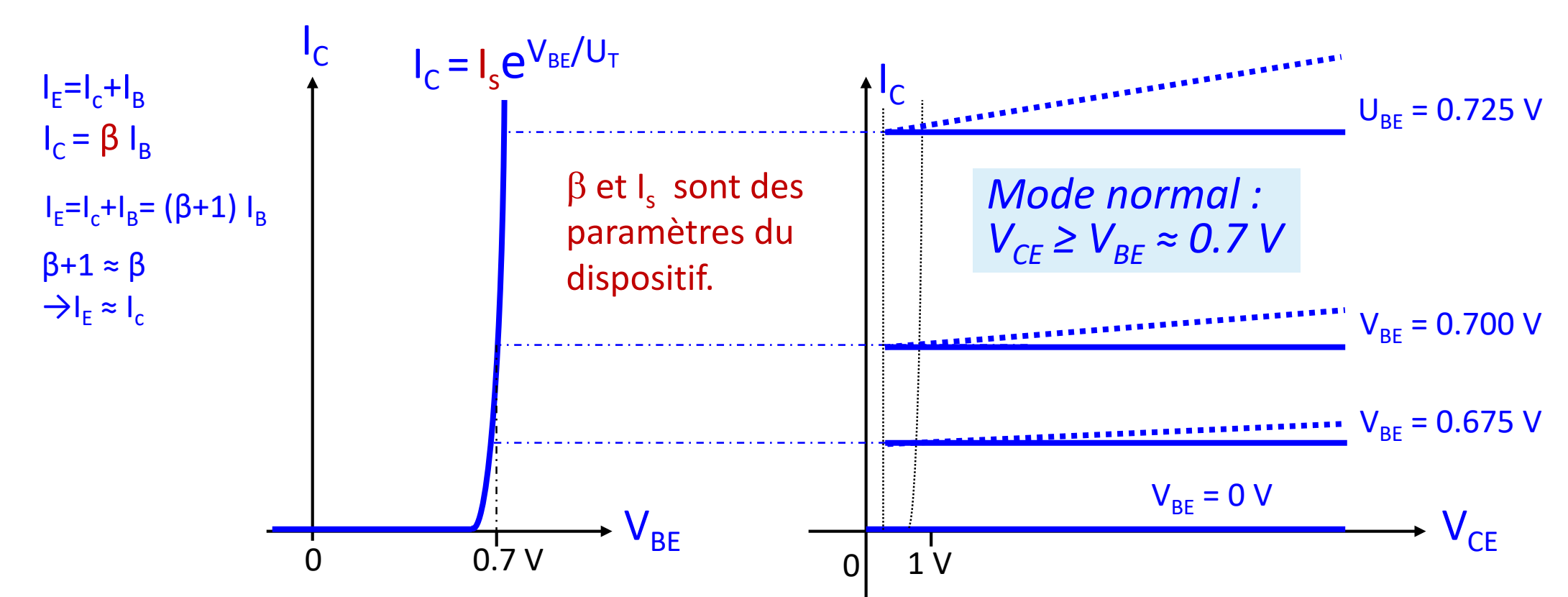
Fonctionnement:

Mode normal (active)





Fonction: Source de courant commandée en tension, Ic=f(V_{BE})





L'effet 'Early'

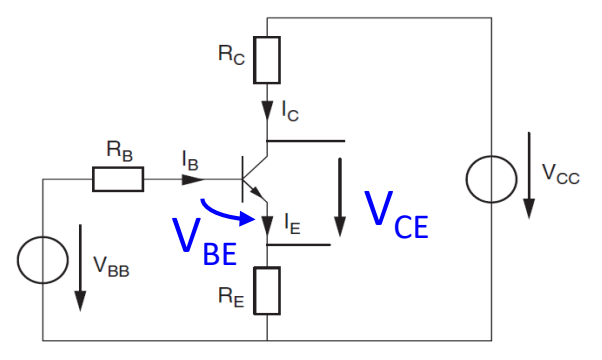
- Le transistor se comporte comme une source de courant réelle, càd avec une résistance (ou conductance) interne (g_{ce}), due à un phénomène appelé *effet Early*
- Pour une tension V_{BE} donnée, quand V_{CE} augmente, la jonction BC n'est plus polarisé en inverse \rightarrow lc augmente
- Sur la caractéristique de sortie on admet théoriquement une variation linéaire entre lc et V_{CE}
- Dans la modélisation électrique, la conductance g_{ce} est placée en parallèle avec la source de courant placée entre collecteur et émetteur



Polarisation, droite de charge statique, point de fonctionnement (repos)

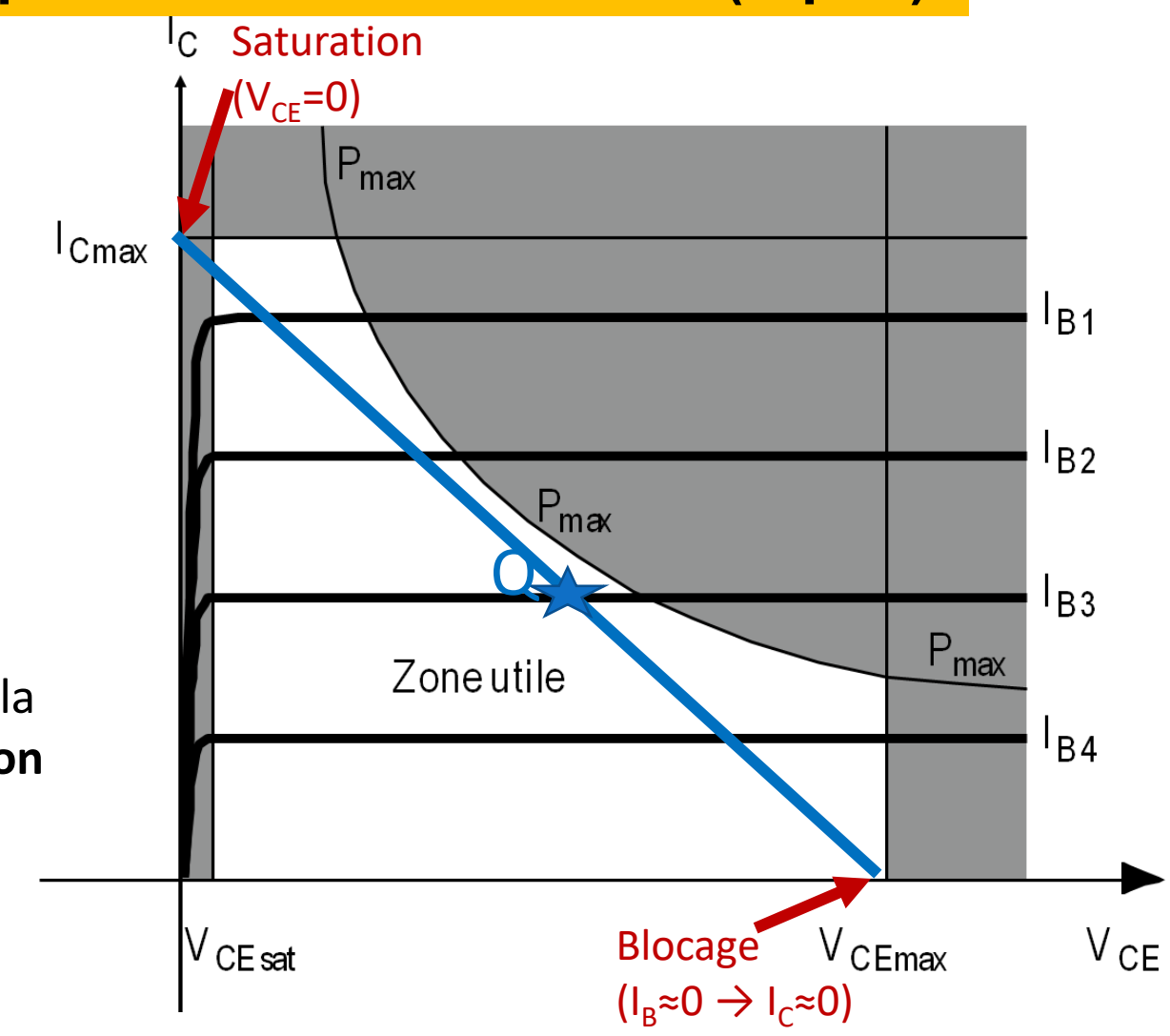
Objectif: Fixer les valeurs des tensions V_{BE} , V_{CE} et des courants I_B , I_C pour **imposer la localisation des points de fonctionnement**

Exemple circuit de polarisation:



Le point de fonctionnement ou repos Q (quiescent) sur la caractéristique de sortie $I_C = f(V_{CE})$ est situé à l'intersection de la droite de charge et d'une caractéristique $I_B = cst$

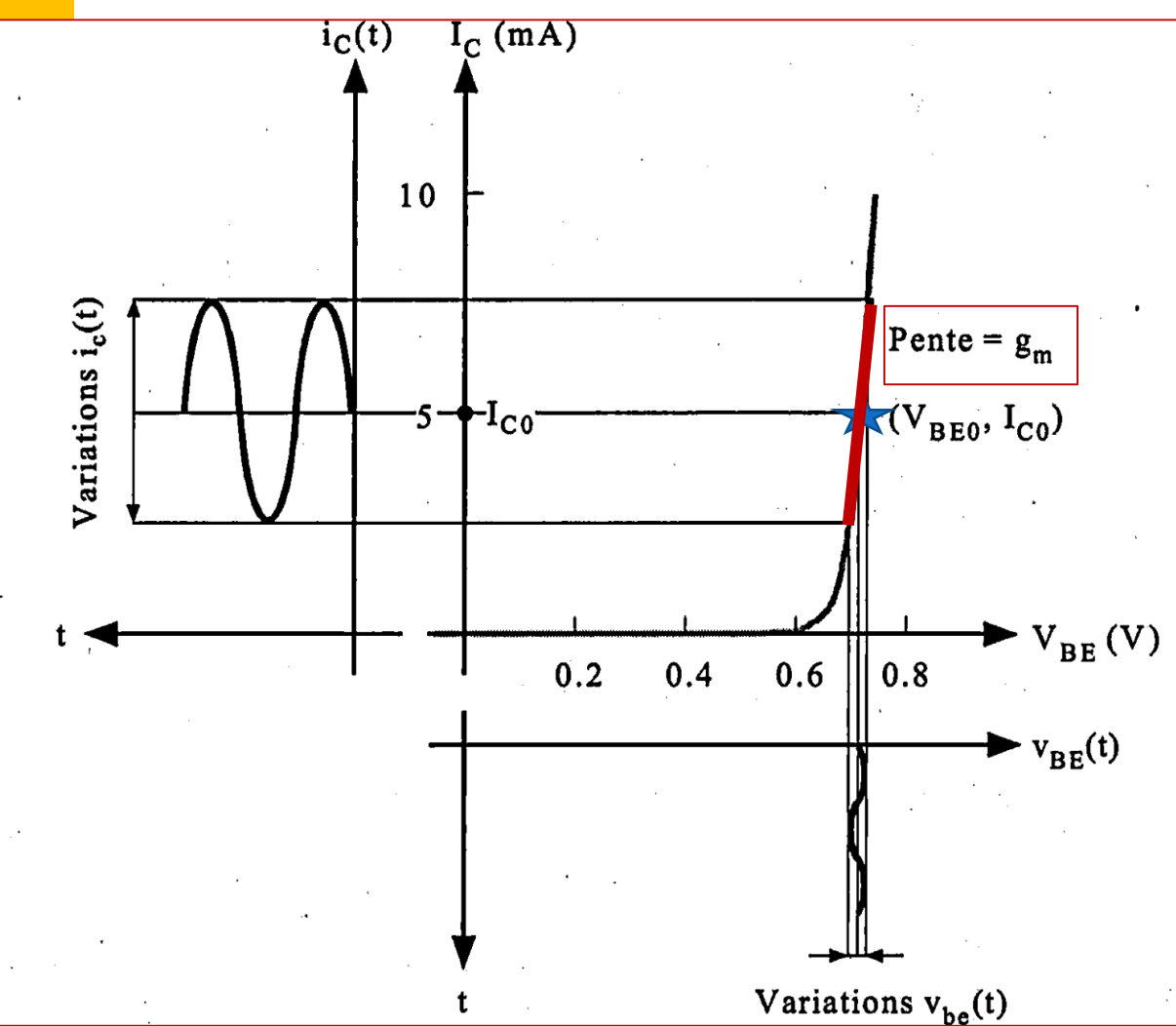
Droite de charge statique définie par le circuit de polarisation: $I_{Cmax} = Vcc/(R_C + R_E)$; $V_{CEmax} = V_{cc}$





Modèle linéaire petit signaux : principe

- Une fois le point de fonctionnement fixé, le transistor peut amplifier des variations autour de celui-ci
- Les variations du signal autour du point de fonctionnement sont suffisamment petites pour linéariser les caractéristiques du transistor autour du point de repos
- Les pentes des caractéristiques du transistor au point de fonctionnement permet d'obtenir les paramètres de l'amplificateur équivalent au transistor ou les paramètres 'petits signaux'







Transconductance

 La transconductance, g_m, mesure l'efficacité de la conversion d'une variation de la tension V_{BE} en variation du courant de collecteur lc, indiquant la capacité du transistor à amplifier les signaux électriques.

$$I_{C} = I_{S} \cdot e^{\frac{V_{BE}}{U_{T}}}$$

$$I_{C} = \beta \cdot I_{B}$$

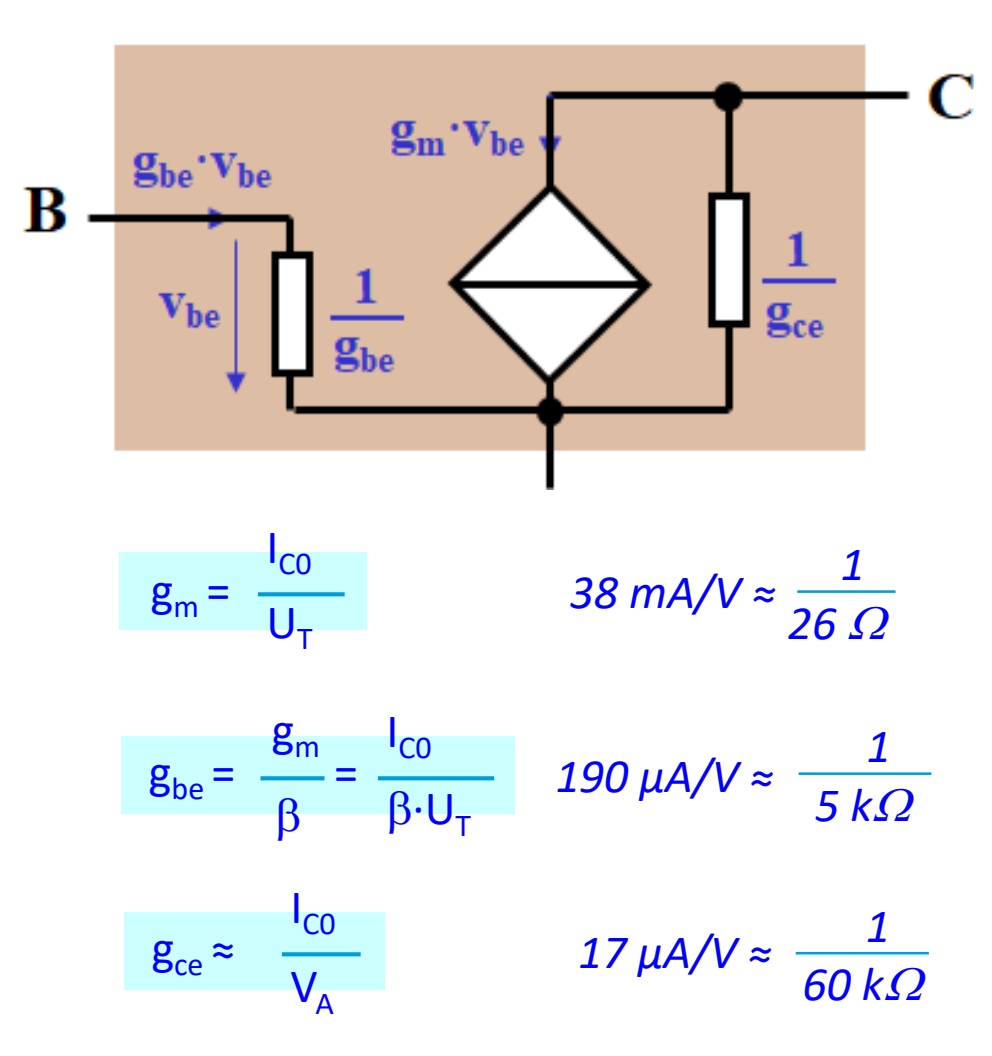
$$U_{T} = \frac{kT}{q} \approx 26 \text{ mV } @ 300^{\circ} \text{ K}$$

$$\mathbf{g_m} = \frac{\mathbf{dI_C}}{\mathbf{dV_{BE}}} = \frac{\mathbf{I_C}}{\mathbf{U_T}}$$





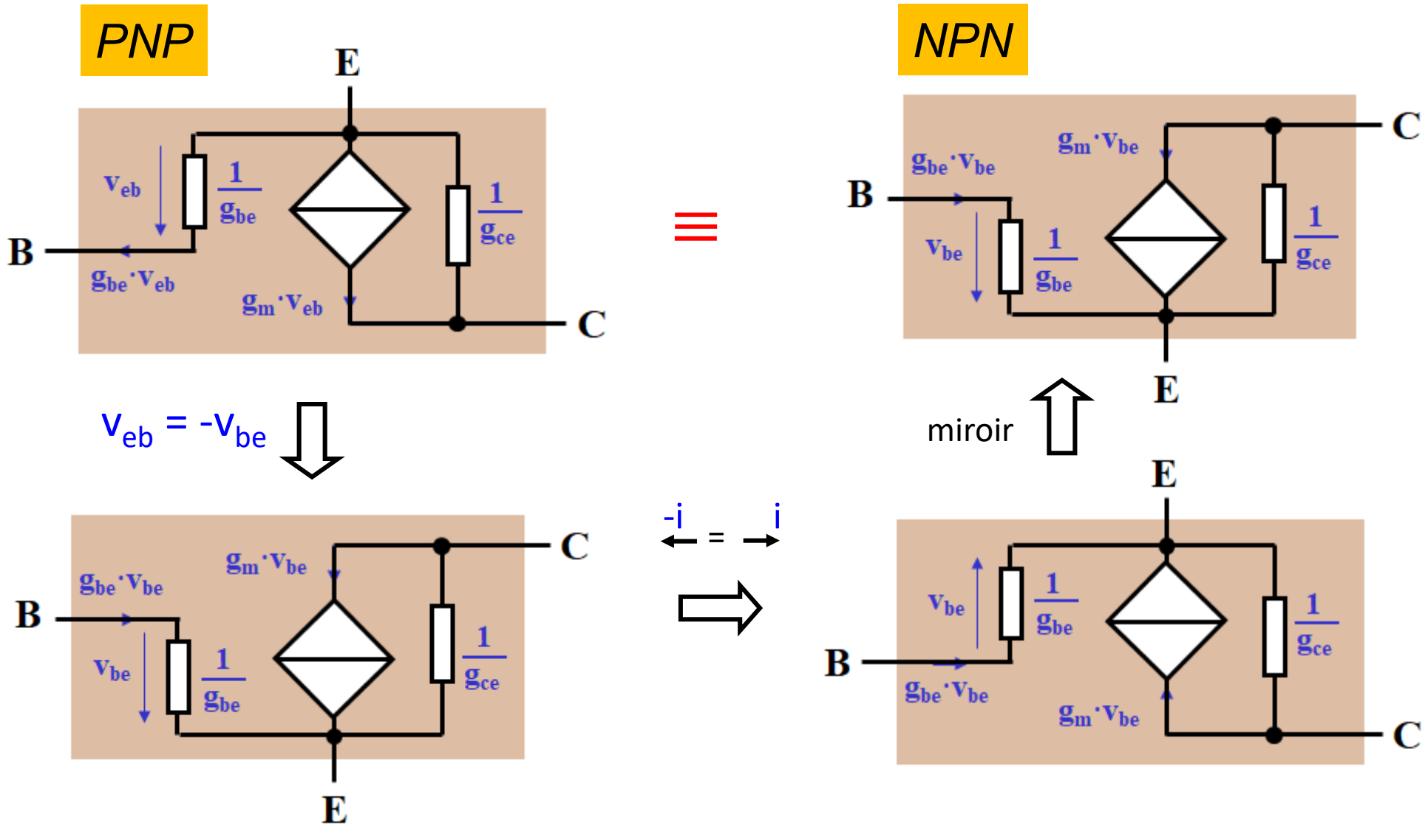
Transistor bipolaire NPN (en mode normal)



Ex.:
$$I_{CO} = 1 \text{ mA}$$
, $\beta = 200$, $V_A = 60 \text{ V}$

2. Modèle 'petits signaux'

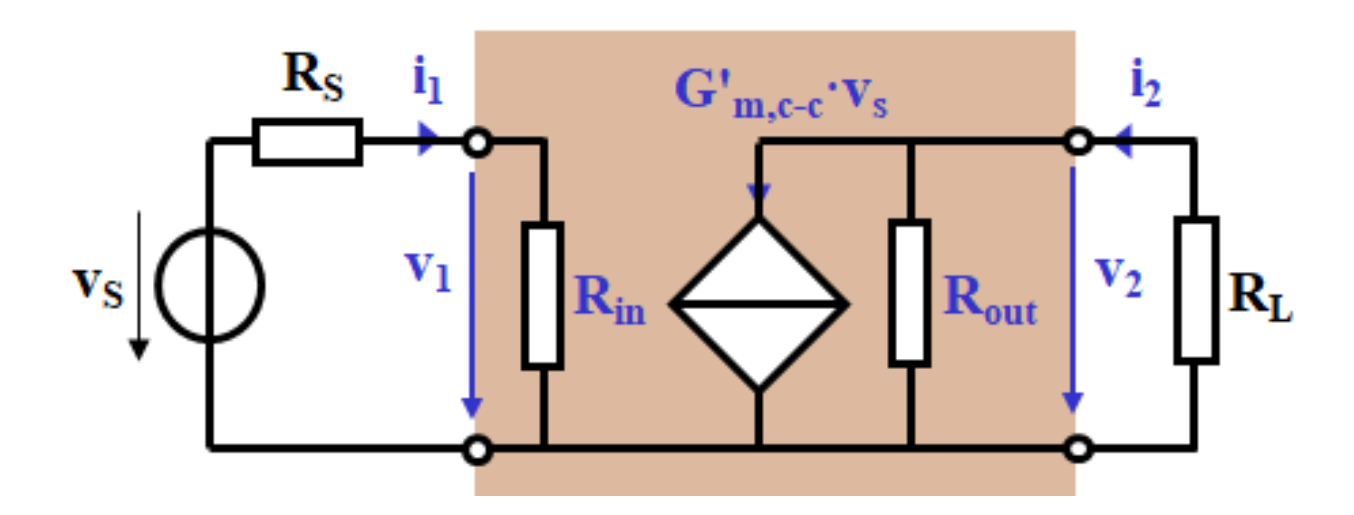




Les modèle "petits signaux" du PMOS et du NMOS sont identiques



Modélisation et définitions



Grandeurs "accessibles": v₁, i₁, v₂, i₂

Résistance d'entrée : $\mathbf{R_{in}} = \frac{\mathbf{v_1}}{\mathbf{i_1}}$

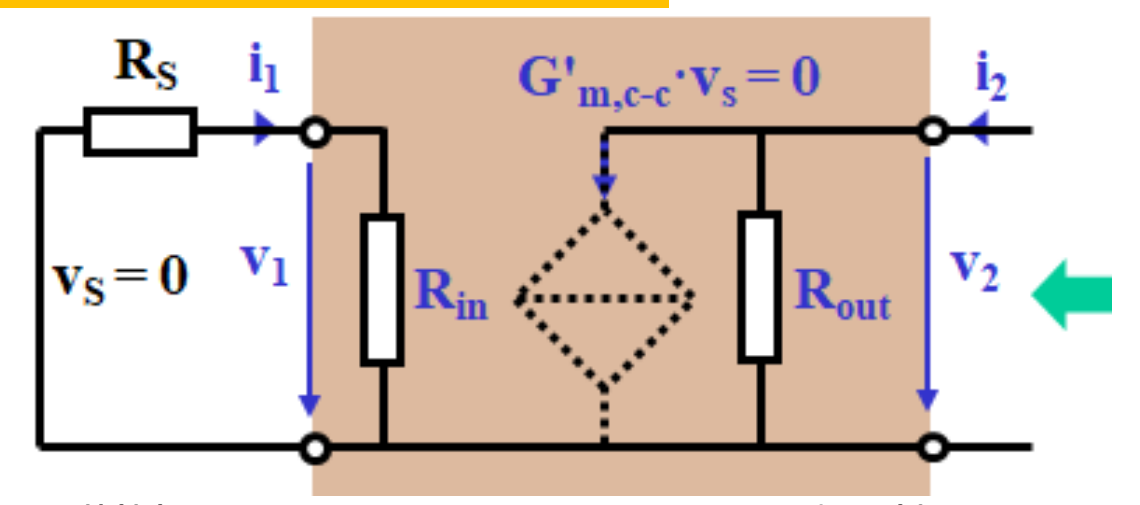
Gain en tension : $A_v = \frac{v_2}{v_1}$

Gain en courant : $A_i = \frac{i}{i}$

pour une charge R_L donnée!



Définition de la résistance de sortie



La résistance de sortie est l'élément parasite interne au quadripôle, qui rend la source commandée non-idéale, et qui se situe en parallèle (source de courant) ou en série (source de tension) avec la charge R_L.

Pour mesurer ou calculer la résistance de sortie, il faut:

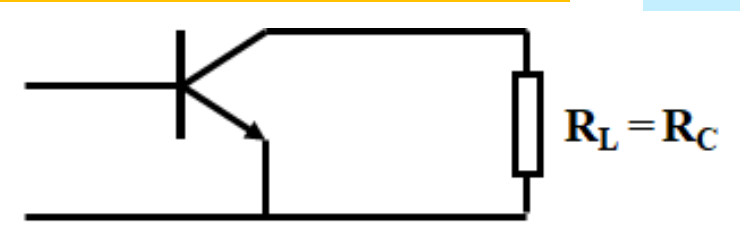
- enlever la charge R_I
- annuler la source indépendante d'entrée v_s (ou i_s selon les cas)
- mesurer ou calculer la résistance visible, dans ces conditions, entre les bornes de sortie

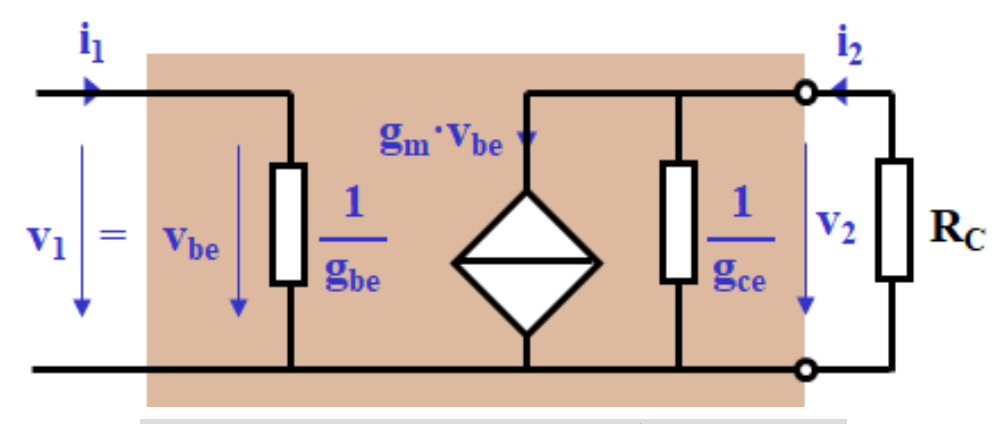
$$\mathbf{R_{out}} = \frac{\mathbf{v_2}}{\mathbf{i_2}}\Big|_{\mathbf{v_c} = 0}$$
 pour une résistance de source R_S donnée!



Modèle 'petits signaux'

Emetteur Commun (EC)



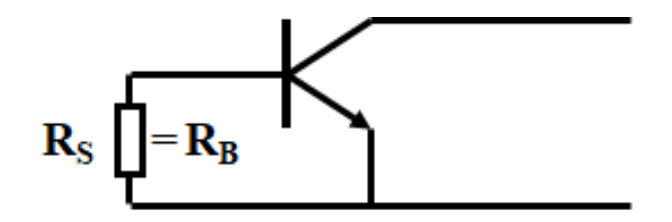


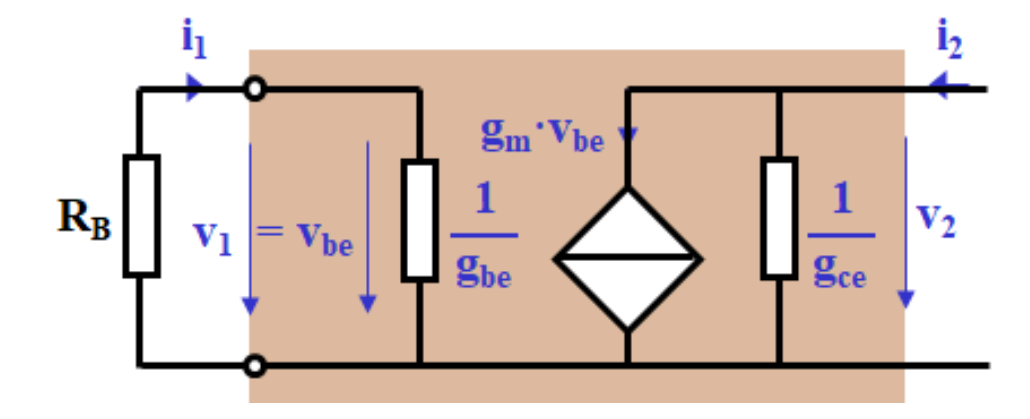
$$A_{\rm V} = -g_{\rm m} \cdot (R_{\rm C} // \frac{1}{g_{\rm ce}}) \stackrel{*}{\approx} -g_{\rm m} \cdot R_{\rm C}$$

$$A_i = \beta \cdot \frac{1}{1 + g_{ce} \cdot R_C} \stackrel{*}{\approx} \beta$$
 $\star si: R_C < \frac{1}{g_{ce}}$

$$\star$$
 si: $R_C < \frac{1}{g_{ce}}$

$$\mathbf{R_{in}} = \frac{1}{\mathbf{g_{be}}}$$



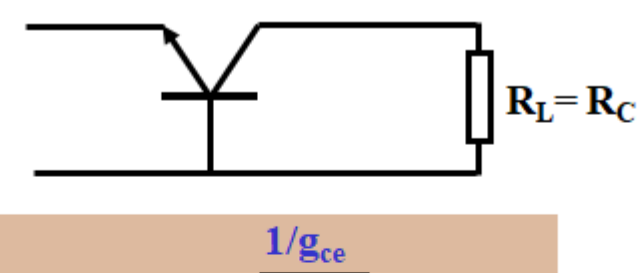


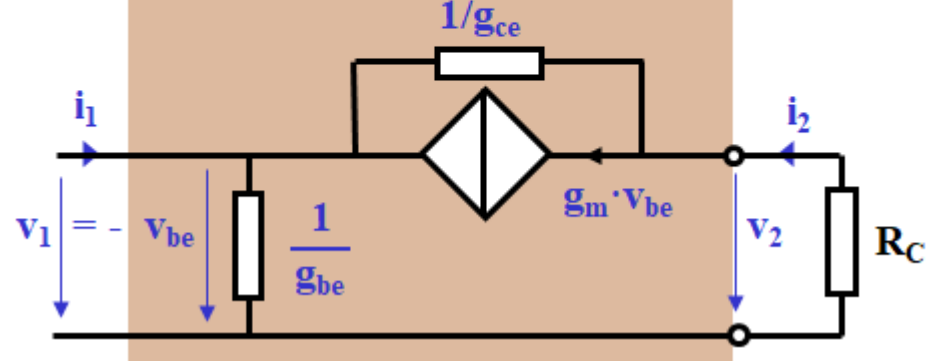
$$\mathbf{R}_{\text{out}} = \frac{1}{\mathbf{g}_{\text{ce}}}$$



Modèle 'petits signaux'

Base Commune (BC)

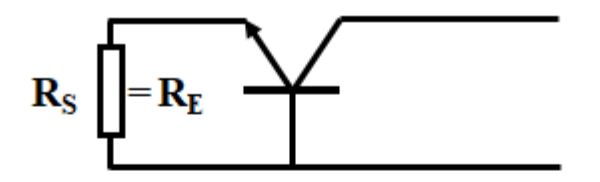


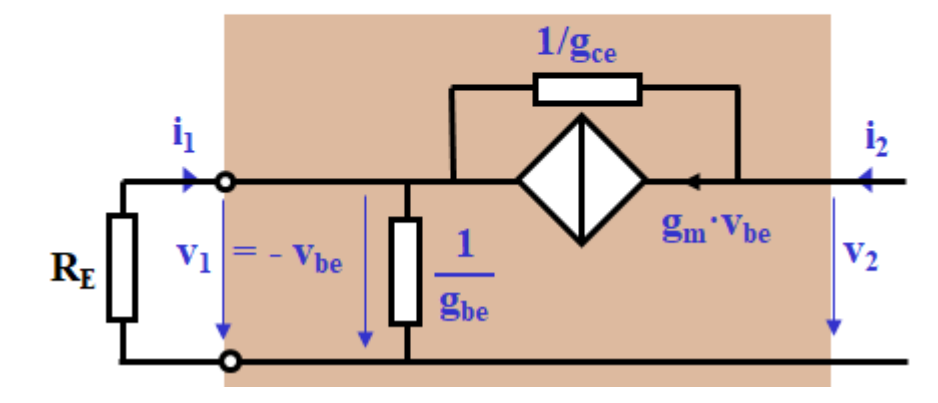


$$\mathbf{A}_{\mathrm{V}} = \frac{\mathbf{g}_{\mathrm{m}} \cdot \mathbf{R}_{\mathrm{C}}}{1 + \mathbf{g}_{\mathrm{ce}} \cdot \mathbf{R}_{\mathrm{C}}} = \mathbf{g}_{\mathrm{m}} \cdot (\mathbf{R}_{\mathrm{C}} / / \frac{1}{\mathbf{g}_{\mathrm{ce}}}) \stackrel{\star}{\approx} \mathbf{g}_{\mathrm{m}} \cdot \mathbf{R}_{\mathrm{C}}$$

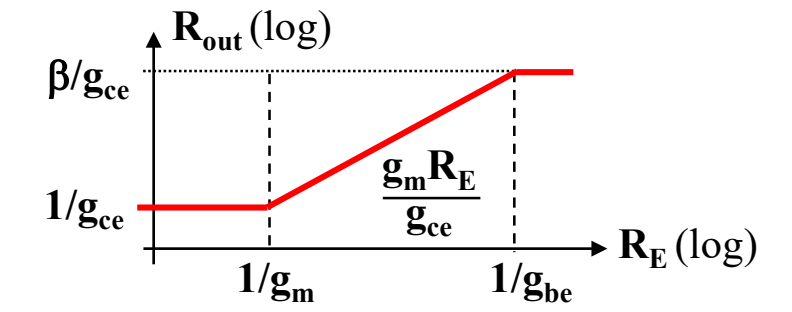
$$A_{i} = \frac{-1}{1 + g_{ce} \cdot R_{C}/\beta} \approx -1 \qquad *si: R_{C} < \frac{1}{g_{ce}}$$

$$R_{in} = \frac{1}{g_m} \cdot \frac{1 + g_{ce} \cdot R_C}{1 + g_{ce} \cdot R_C / \beta} \approx \frac{1}{g_m}$$





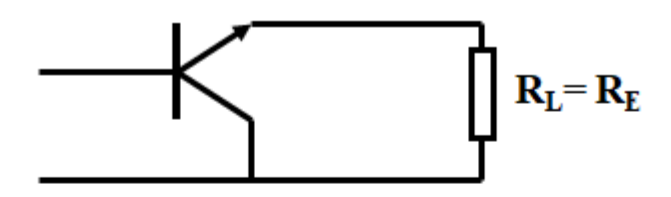
$$R_{out} = \frac{1}{g_{ce}} \cdot \frac{1 + g_m \cdot R_E}{1 + g_{be} \cdot R_E}$$

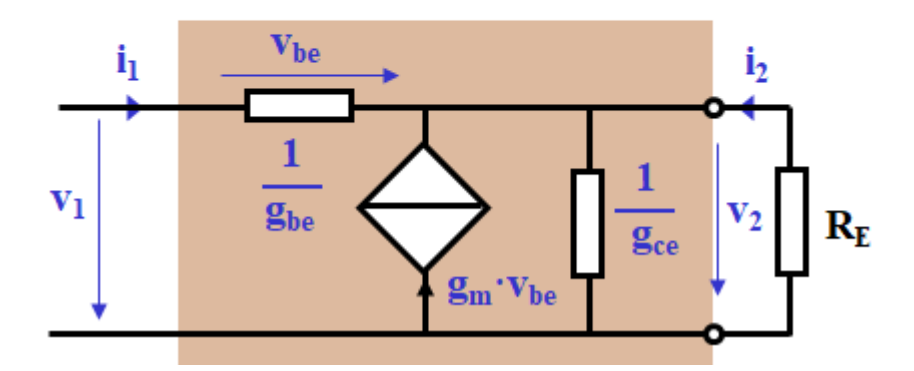




Modèle 'petits signaux'

Collecteur Commun (CC)

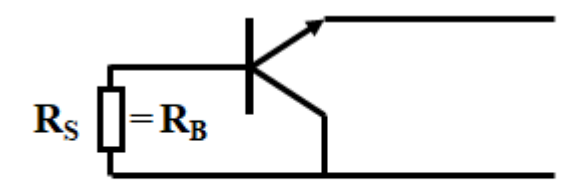


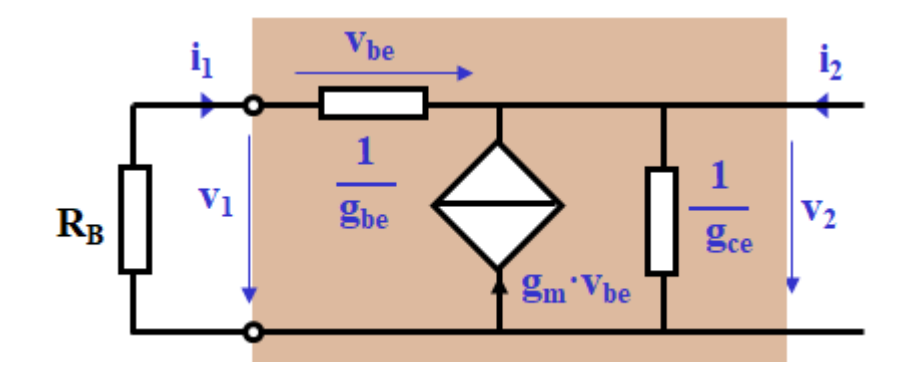


$$\mathbf{A}_{V} = \frac{\mathbf{g}_{m} \cdot \mathbf{R}_{E}}{1 + \mathbf{g}_{m} \cdot \mathbf{R}_{E}} \stackrel{\diamondsuit}{\approx} 1 \qquad \qquad \diamondsuit_{Si: \mathbf{R}_{E}} > \frac{1}{\mathbf{g}_{m}}$$

$$A_{i} = -\beta \cdot \frac{1}{1 + g_{ce} \cdot R_{E}} \stackrel{*}{\approx} -\beta \qquad *_{Si: R_{E}} < \frac{1}{g_{ce}}$$

$$R_{in} = \frac{1}{g_{be}} + \beta \cdot (R_E / \frac{1}{g_{ce}}) \approx \frac{1}{g_{be}} + \beta \cdot R_E \approx \beta \cdot R_E$$



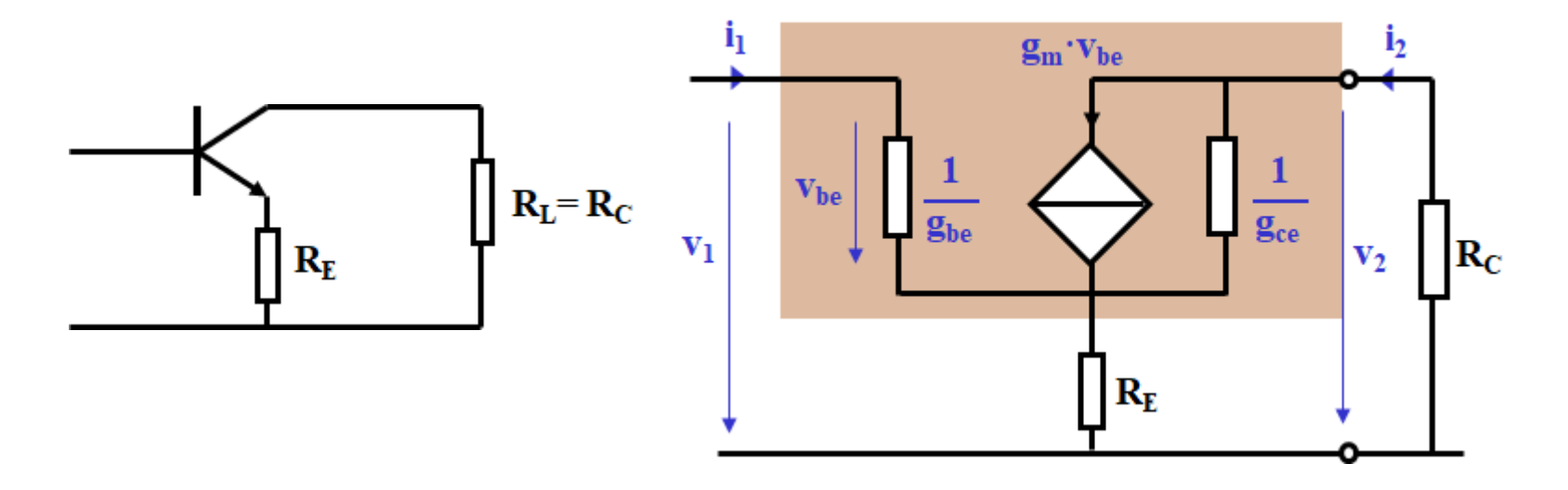


$$R_{out} = \frac{1}{g_{ce}} / (\frac{1}{g_m} + \frac{R_B}{\beta}) \approx \frac{1}{g_m} + \frac{R_B}{\beta} \approx \frac{R_B}{\beta}$$

*si:
$$R_B < \frac{\beta}{g_{ce}}$$
 \$\&\phi_{si}: $R_B > \frac{1}{g_{be}}$



Modèle 'petits signaux'



$$A_{V} = -\frac{g_{m} \cdot R_{C} \cdot (I - g_{ce} \cdot R_{E} / \beta)}{1 + g_{m} \cdot R_{E} + g_{ce} \cdot R_{C} \cdot (1 + g_{be} \cdot R_{E})} = -\frac{g_{m}}{1 + g_{m} \cdot R_{E}} \cdot \left(R_{C} / / \frac{1}{g_{ce}} \cdot \frac{1 + g_{m} R_{E}}{1 + g_{be} R_{E}}\right)$$

presque toujours:
$$R_E < \frac{\beta}{g_{ce}}$$

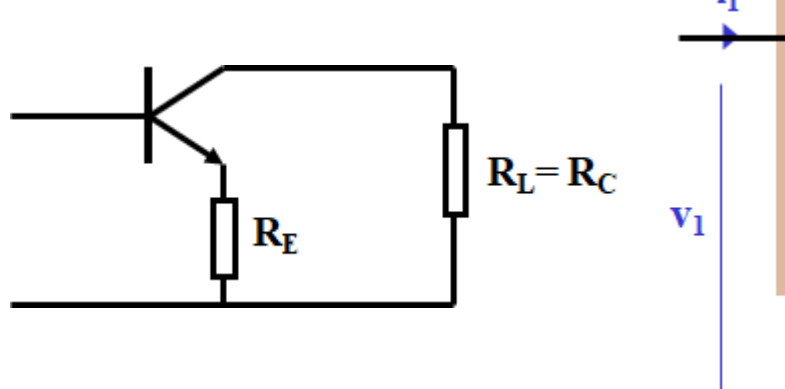
presque toujours:
$$R_E < \frac{\beta}{g_{ce}}$$

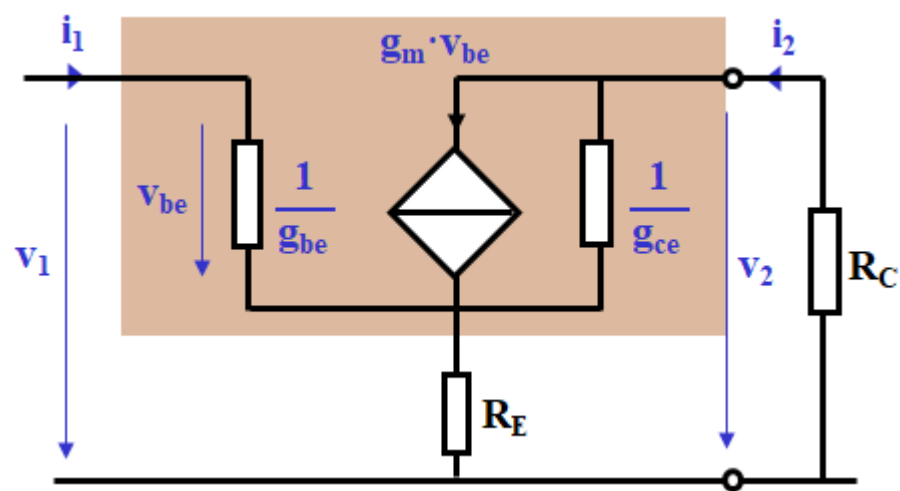
$$\approx -\frac{g_m \cdot R_C}{1 + g_m \cdot R_E} \approx -\frac{R_C}{R_E}$$

*si:
$$R_C < \frac{1}{g_{ce}} \cdot \frac{1 + g_m R_E}{1 + g_{be} R_E}$$
 \$\infty\$ et si: $R_E > \frac{1}{g_m}$



Modèle 'petits signaux'





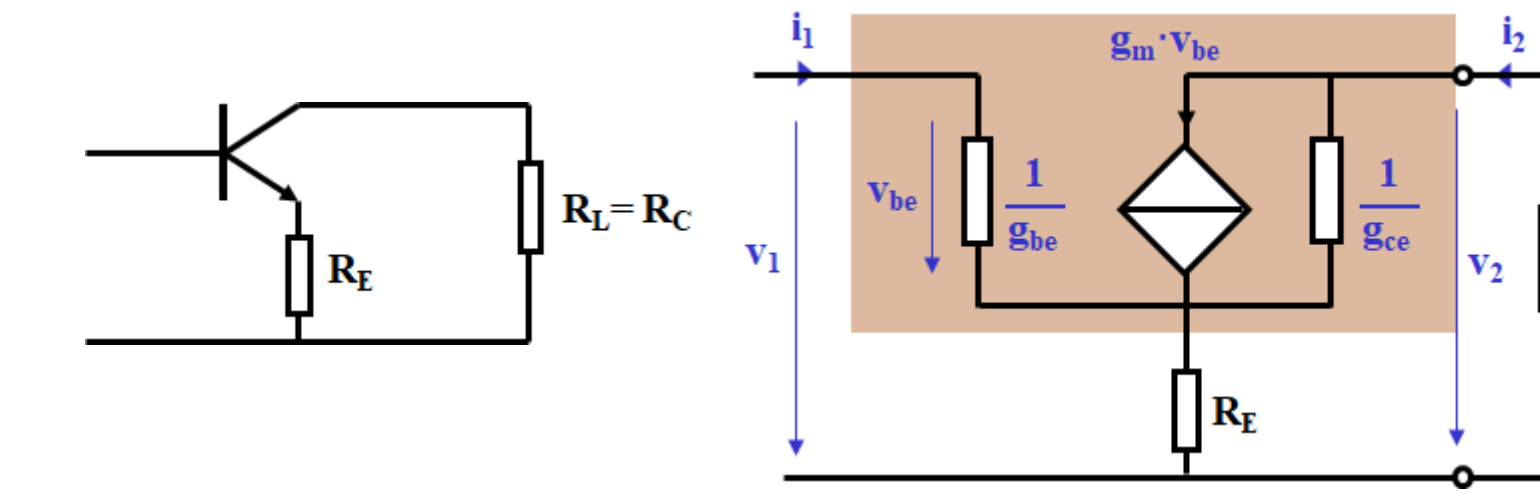
$$A_{i} = \frac{\beta}{1 + g_{ce} \cdot (R_{C} + R_{E})} \approx \beta$$

$$\odot$$
si: $(\mathbf{R}_{\mathbf{C}} + \mathbf{R}_{\mathbf{E}}) < \frac{1}{\mathbf{g}_{\mathbf{ce}}}$

$$R_{in} = \frac{1 + g_m \cdot R_E + g_{ce} \cdot R_C (1 + g_{be} \cdot R_E)}{g_{be} \cdot (1 + g_{ce} \cdot (R_C + R_E))} \approx \frac{1}{g_{be}} + \beta \cdot R_E$$



Modèle 'petits signaux'



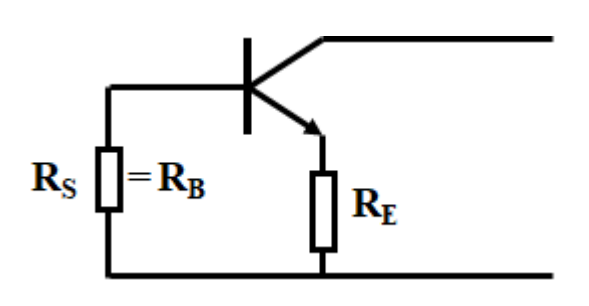
$$A_{i} = \frac{\beta}{1 + g_{ce} \cdot (R_{C} + R_{E})} \approx \beta$$

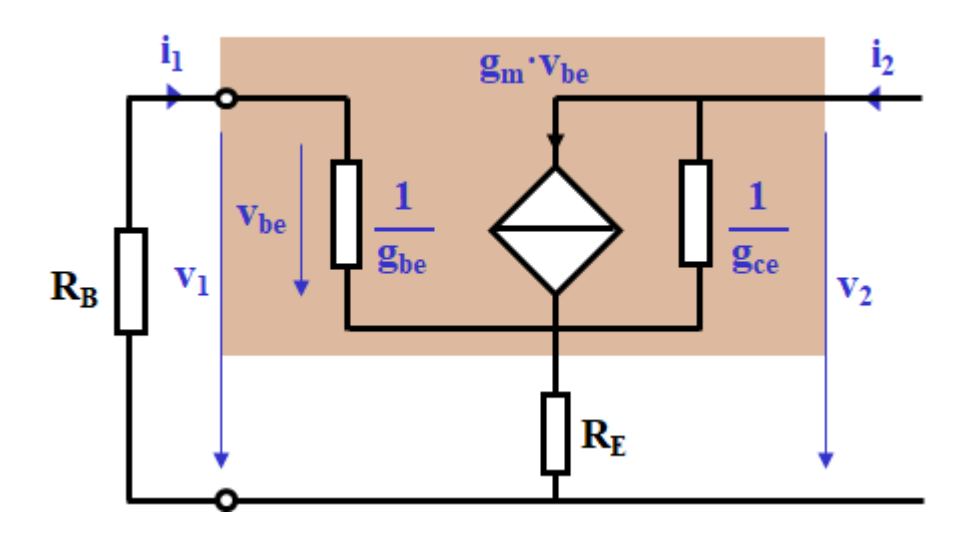
$$\odot$$
si: $(\mathbf{R}_{\mathbf{C}} + \mathbf{R}_{\mathbf{E}}) < \frac{1}{\mathbf{g}_{\mathbf{ce}}}$

$$R_{in} = \frac{1 + g_m \cdot R_E + g_{ce} \cdot R_C (1 + g_{be} \cdot R_E)}{g_{be} \cdot (1 + g_{ce} \cdot (R_C + R_E))} \approx \frac{1}{g_{be}} + \beta \cdot R_E$$



Modèle 'petits signaux'

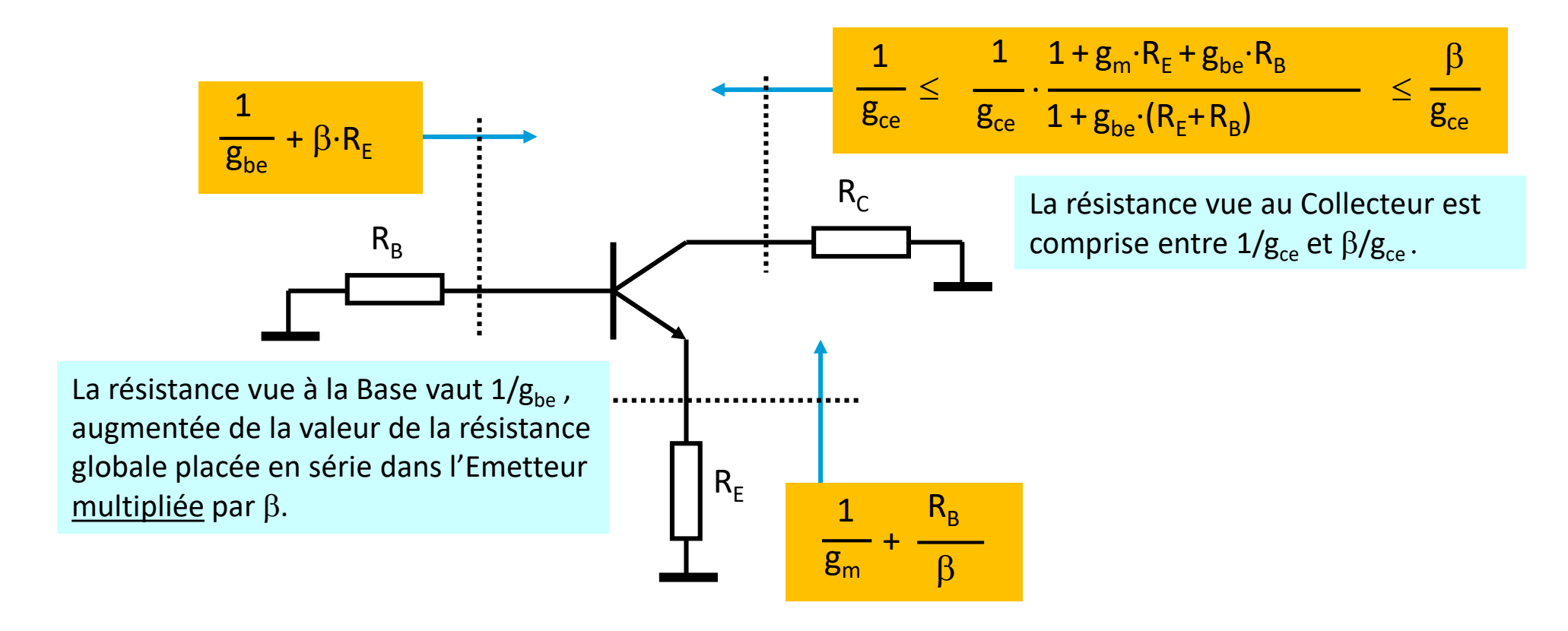




$$R_{out} = \frac{1}{g_{ce}} \cdot \frac{1 + g_m \cdot R_E + g_{be} \cdot R_B \cdot (1 + g_{ce} \cdot R_E)}{1 + g_{be} \cdot (R_B + R_E)}$$

$$\Leftrightarrow$$
si: $R_E < \frac{1}{g_{ce}}$

$$\frac{1}{g_{ce}} \le R_{out} \le \frac{\beta}{g_{ce}}$$



Attention aux limites de validité!

La résistance vue à l'Emetteur vaut $1/g_m$, augmentée de la valeur de la résistance globale placée en série dans la Base <u>divisée</u> par β .

Exemple d'application: entrée sur base

$$R_{in} = \frac{1}{g_{be}}$$

EC

$$\mathbf{R_{in}} = \frac{1}{\mathbf{g_{be}}} + \beta \cdot \mathbf{R_E}$$

CC

$$\mathbf{R_{in}} = \frac{1}{g_{be}} + \beta \cdot \mathbf{R_E}$$

$$\mathbf{R_{E}} = \frac{1}{|\mathbf{R_E}|} \mathbf{R_{C}} < 1/g_{ce}$$

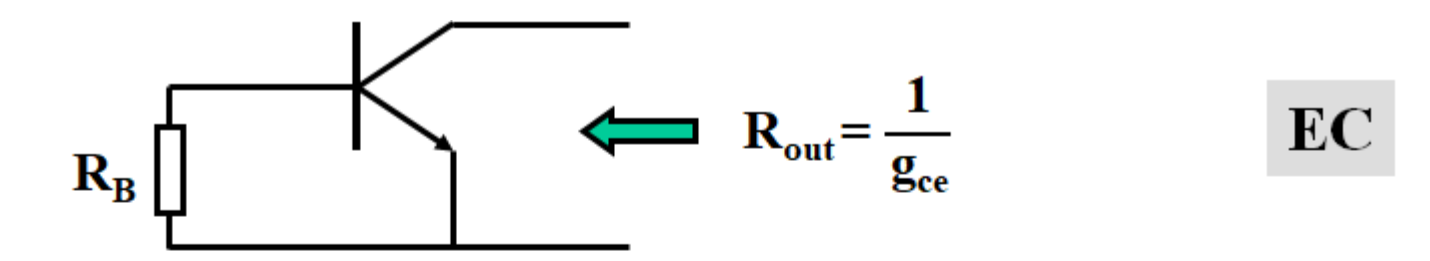
EC dégénéré

Exemple d'application: entrée ou sortie sur l'émetteur

$$\mathbf{R_{in}} = \frac{1}{\mathbf{g_m}} \longrightarrow \mathbf{BC}$$

$$R_{out} = \frac{1}{g_m} + \frac{R_B}{\beta}$$

Exemple d'application: sortie sur collecteur



$$1/g_{m} < R_{E} < 1/g_{be}$$

$$R_{out} = \frac{1}{g_{ce}} \cdot g_{m} R_{E}$$

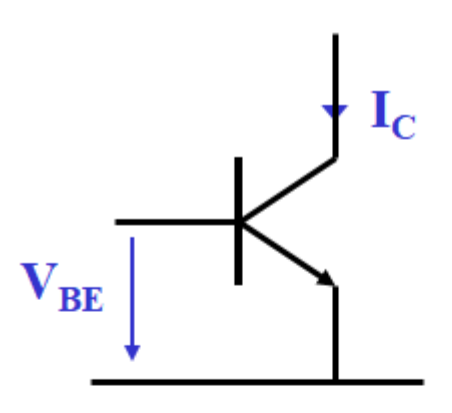
$$BC$$

$$R_{out} = \frac{1}{g_{ce}} \cdot g_m R_E$$

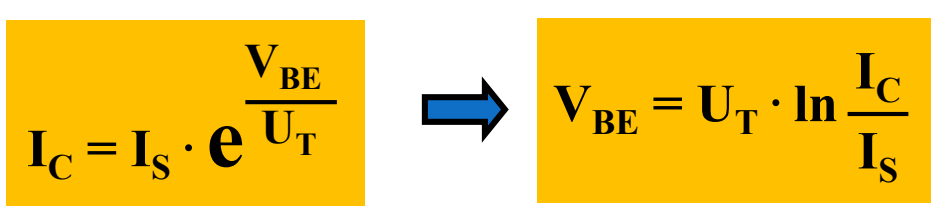
$$R_{be} = \frac{1}{1/g_{be}} \cdot g_m R_E$$







L'approximation $V_{BE} = U_j = 0.7 \text{ V ne peut }$ jamais être utilisée dans la loi exponentielle pour calculer le courant !



Ex.:
$$I_S = 10^{-14} \text{ A}$$

 $U_T = 26 \text{ mV}$

I _C (mA)	V _{BE} (V)	
1	0.658	
2	0.676	
5	0.700	
10	0.718	

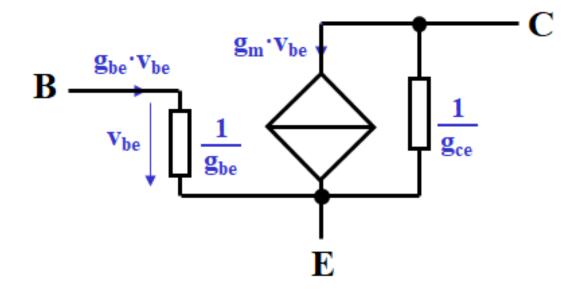
$$\begin{array}{c|c} V_{CC} \\ R \\ I_C + I_B \approx I_C \\ \beta >> 1 \\ \end{array}$$

$$I_{C} = \frac{V_{CC} - 0.7}{R}$$

Par contre, l'approximation $V_{BE} = U_j = 0.7 \text{ V}$ est valable dans la plupart des cas pour calculer une polarisation.





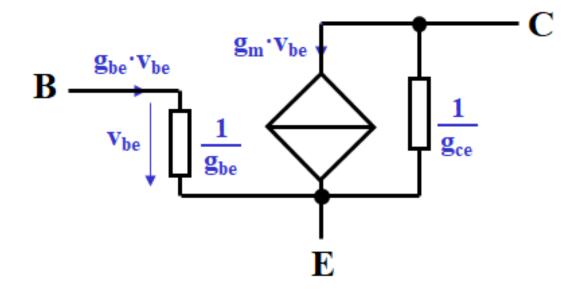


En "petits signaux": $v_{be} \neq U_i = 0.7 \text{ V}$

U_i n'a aucun sens dans un calcul "petits signaux"







En "petits signaux": $v_{be} \neq U_i = 0.7 \text{ V}$

U_i n'a aucun sens dans un calcul "petits signaux"





Comparaison qualitative des trois montages fondamentaux

Caractéristique	EC	ВС	СС
Résistance d'entrée	Moyenne	Faible	Elevée
Résistance de sortie	Elevée	Très élevée	Faible
Transconductance	Elevée	Elevée	Elevée
Gain en tension	Elevé	Elevé	Unitaire
Inversion de phase	180°	0°	0°

Caractéristiques essentielles:

Amplificateur à transconductance

Permet
d'améliorer les
performances
d'un ampli à
transconductance
ou d'une source
de courant

Etage de sortie des amplificateurs de tension nécessitant une faible valeur de la résistance de sortie

Sommaire



- Un transistor bipolaire fonctionne comme un amplificateur lorsqu'il est utilisé dans la région active: source de courant contrôlée par tension
- Avec un polarization DC et un petit signal v_{be} , le fonctionnement devient presque linéaire, avec $I_C = gm * v_{be}$.
- La transconductance, gm = I_C / U_T est le paramètre le plus important pour un transistor
- Dans le design d'un circuit ampli, il faut bien vérifier que le circuit de polarisation du transistor garantit le fonctionnement dans la zone active et que I_C et V_{CE} restent stables, même lors du remplacement du transistor (surtout pour un circuit discrét)
- L'amplificateur à un transistor peut offrit des performances très variables, en fonction de la configuration adoptée. Si le choix d'une configuration particulière favorise certains paramètres, elle risque d'en dégradé d'autres (eg. CC)

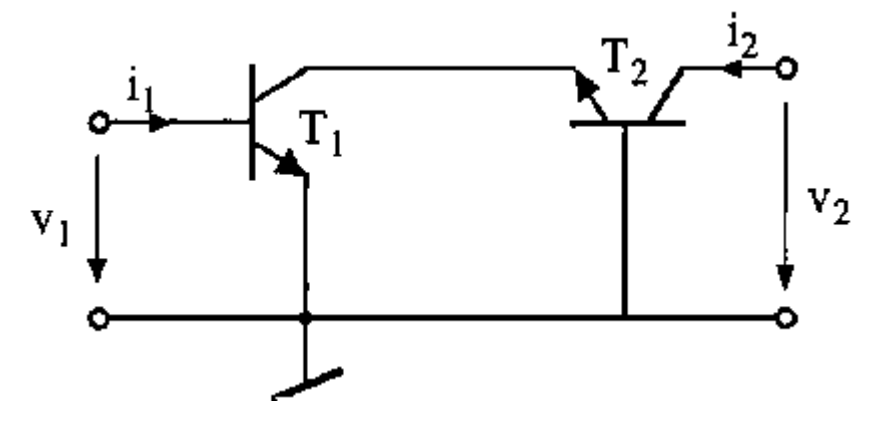
I. Structures analogiques de base

Amplificateur 'cascode'

Caractéristiques du montage 'cascode'

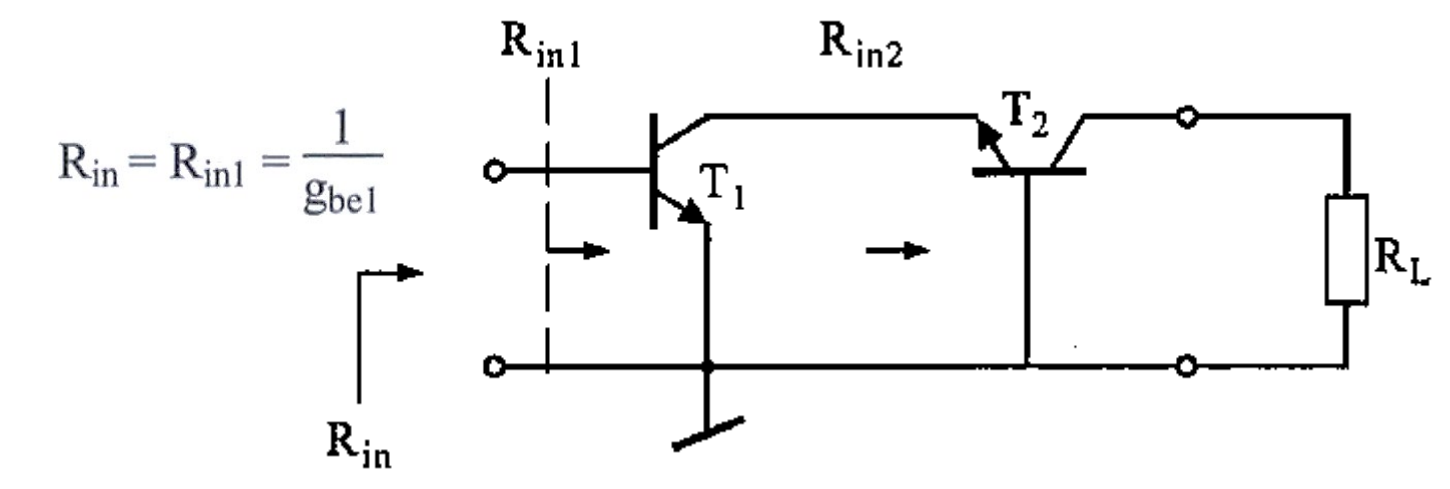


Principe

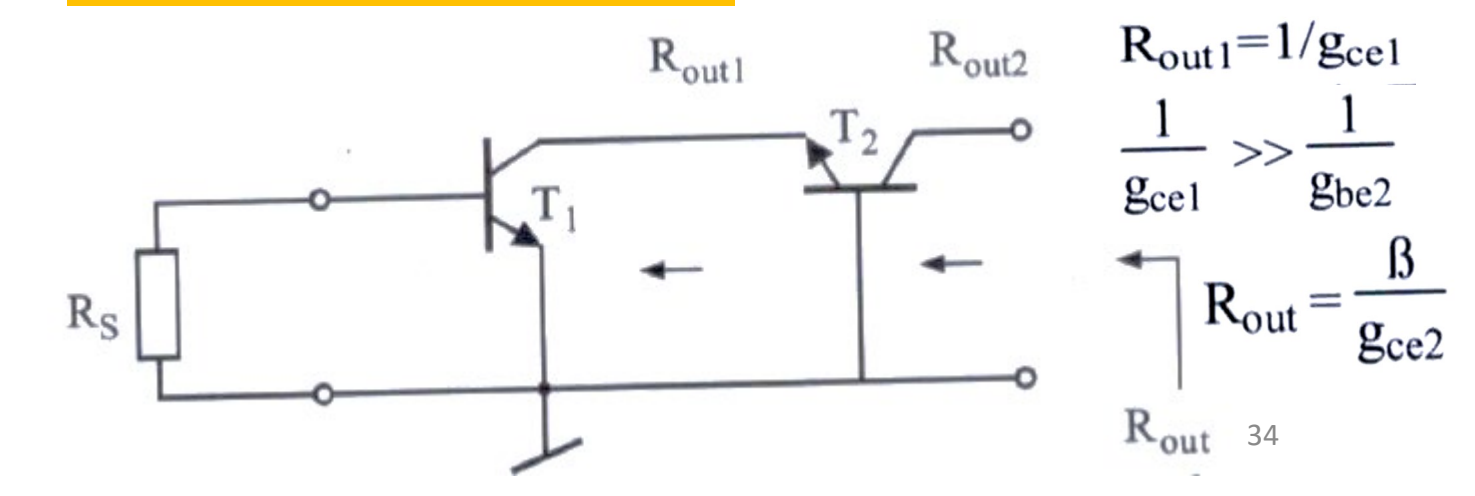


- Combination EC-BC
- Fonctionne comme un EC mais avec un très haute impédance de sortie

Résistance d'entrée



Résistance de sortie

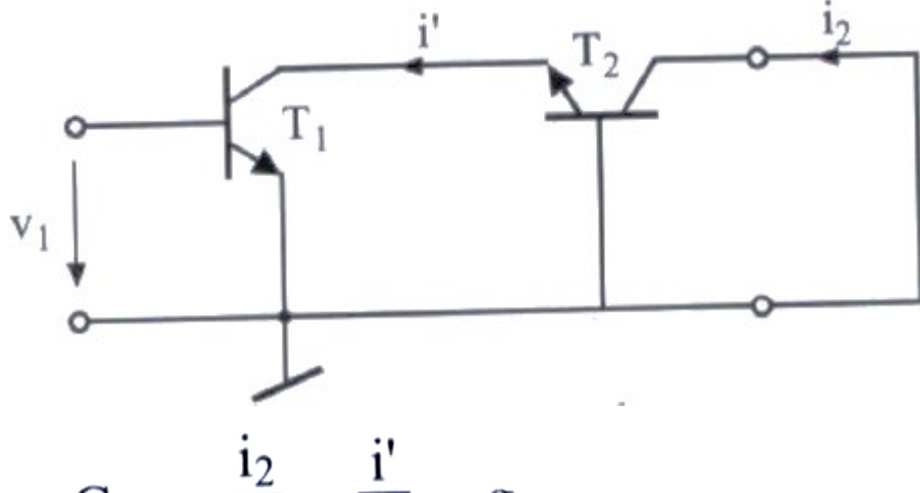






Transconductance

• Avec la sortie court-circuité on détermine la conductance maximale, G_{m0} :



$$G_{m0} = \frac{i_2}{v_1} \approx \frac{i'}{v_1} \approx g_{m1}$$

 En charge, la résistance de sortie est tellement élevée que:

$$G_m \approx G_{m0} \approx g_{m1}$$

Gain en tension

- Montage avec des performances identiques à celle de la configuration EC, mais avec une résistance R_{out} extrêmement élevée
- → permet une amplification de tension très élevée, β supérieure à celle de l'EC:

$$A_{v0} = -G_{m0} R_{out} = -B \frac{g_{m1}}{g_{ce2}}$$

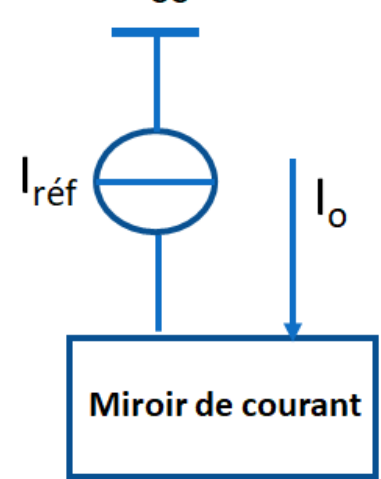
I. Structures analogiques de base

Miroirs de courant

Caractéristiques



Principe V_{cc}



Détecter le courant d'une « source de courant de référence » et de dupliquer ce « courant de référence » à d'autres emplacements.

Impédance de sortie élevée

Un miroir de courant idéal a une résistance de sortie infinie, rendant le courant de sortie insensible à la charge. En pratique, il a une très haute impédance de sortie.

Impédance d'entrée faible

Un miroir de courant idéal a une impédance d'entrée nulle, maintenant le courant d'entrée constant, peu importe la source. En pratique, l'impédance d'entrée est très faible.

Haute précision

Ils reproduisent le courant d'entrée avec une précision élevée, généralement avec une erreur de quelques pourcents.

Gain de courant linéaire

Le gain de courant est le rapport du courant de sortie au courant d'entrée. Idéalement, il est égal à 1, mais en pratique, il est légèrement inférieur.

Bonne réponse en fréquence

Les miroirs de courant peuvent traiter les signaux d'entrée avec peu de distorsion. Idéalement, ils n'ont pas de limite de fréquence, mais en pratique, les capacités parasites des transistors introduisent des limitations.

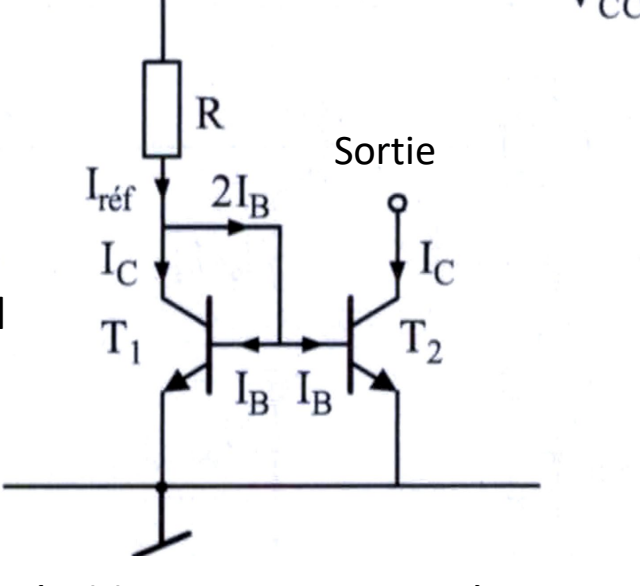
Miroir de courant élémentaire



Principe

T1 and T2 parfaitement similaires:

- Même température
- Même gains DC
- Régime active normal
- Même V_{BE}



- T1 agit comme une diode, établissant un courant à travers lui.
- T1 développe une chute de tension V_{BE} en réponse au courant.
- La jonction BE de T2 est en parallèle avec celle de T1 ($V_{BE1} = V_{BE2} = V_{BE}$).
- Le courant lc est établi en fonction de son V_{BE}.
- Comme les transistors sont appariés, Ic est approximativement égal à I_{réf} (on dit que Ic reflète I_{réf}, d'où le nom de miroir de courant)

Courant de sortie

$$I_{r\acute{e}f} = \frac{V_{CC} - V_{BE1}}{R} \approx \frac{V_{CC} - U_{j}}{R}$$

$$I_{réf} = I_C + 2I_B = I_C (1 + \frac{2}{\beta})$$

- Relation valable si V_{CE1}=V_{CE2}=U_j
- Lorsque V_{CE2} augmente → effet Early

Impédance de sortie

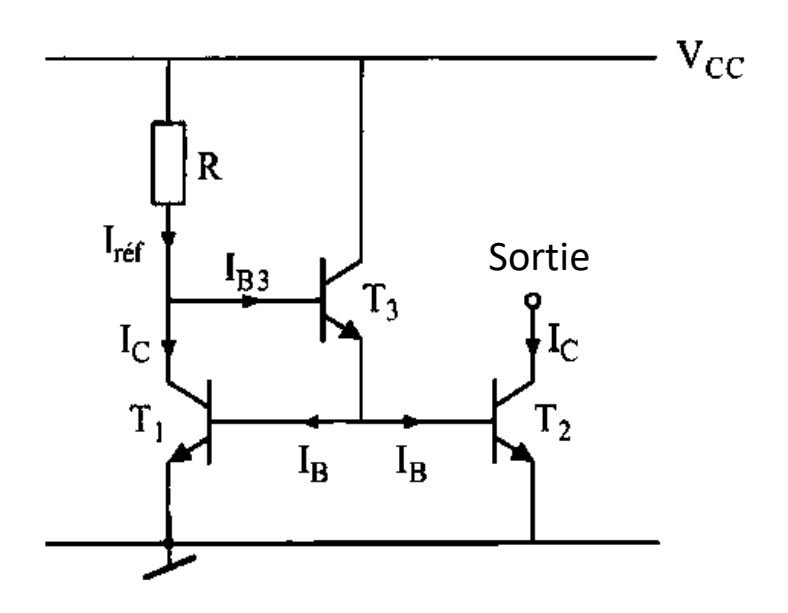
$$R_{out} = \frac{1}{g_{ce2}}$$

Exemple: Pour un β =100, l'écart entre $I_{réf}$ et lc de 2%!



Miroir avec compensation des courants de base

Principe



- Les courants de base fournis par l'intermédiaire d'un transistor supplémentaire T3 monté en CC
- Le prélèvement de courant sur l_{réf} est ainsi fortement réduit:

$$I_{B3} = \frac{2I_B}{\beta + 1} \approx \frac{2I_B}{\beta}$$

Courant de sortie

$$I_C = I_{réf} - \frac{2I_B}{\beta} = I_{réf} - \frac{2I_C}{\beta^2}$$

$$I_{C}\left(1+\frac{2}{\beta^{2}}\right)=I_{r\acute{e}f}$$

L'écart devient négligeable!

Impédance de sortie

$$R_{out} = \frac{1}{g_{ce2}}$$

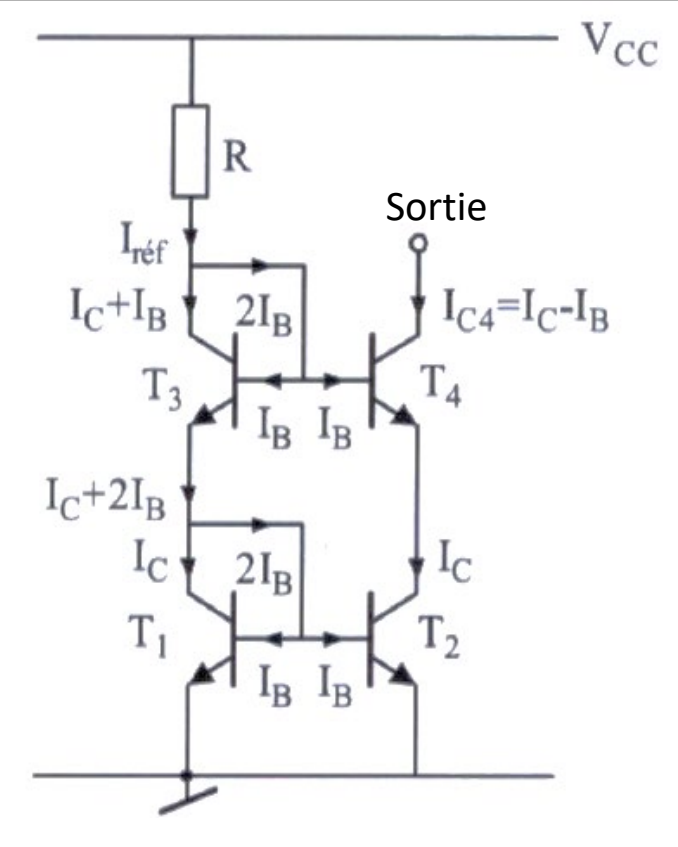
L'effet Early et l'impédance de sortie qui lui est associé inchangés par rapport à la conf. élémentaire

Miroir cascode



Principe

 Permet d'augmenter considérablement l'impédance de sortie



- 2 diodes en cascade dans a branche de réf
- T1 fixe le potentiel V_{BE} de T2 et assure l'égalité des courants dans les deux branches
- T3 crée une chute supplémentaire de 0.7V, et polarise la base de T4 à environ 1.4V → T4 en fonctionnement BC

Courant de sortie

$$I_{réf} = I_{C} + 3I_{B}$$

$$I_{C4} = I_{C} - I_{B} = I_{réf} - 4I_{B}$$

$$I_{C} (1 + \frac{4}{\beta}) = I_{réf}$$

$$I_{réf} = \frac{V_{CC} - 2V_{BE}}{R} = \frac{V_{CC} - 2U_{j}}{R}$$

- Le courant de sortie n'est plus influencé par le potentiel de collecteur de T4
- Le potentiel de collecteur de T2 est fixé à un potentiel constant Uj → Le courant Ic, qui n'est plus soumis à l'effet Early, est transmis directement à la sortie par l'intermédiaire de T4

Impédance de sortie

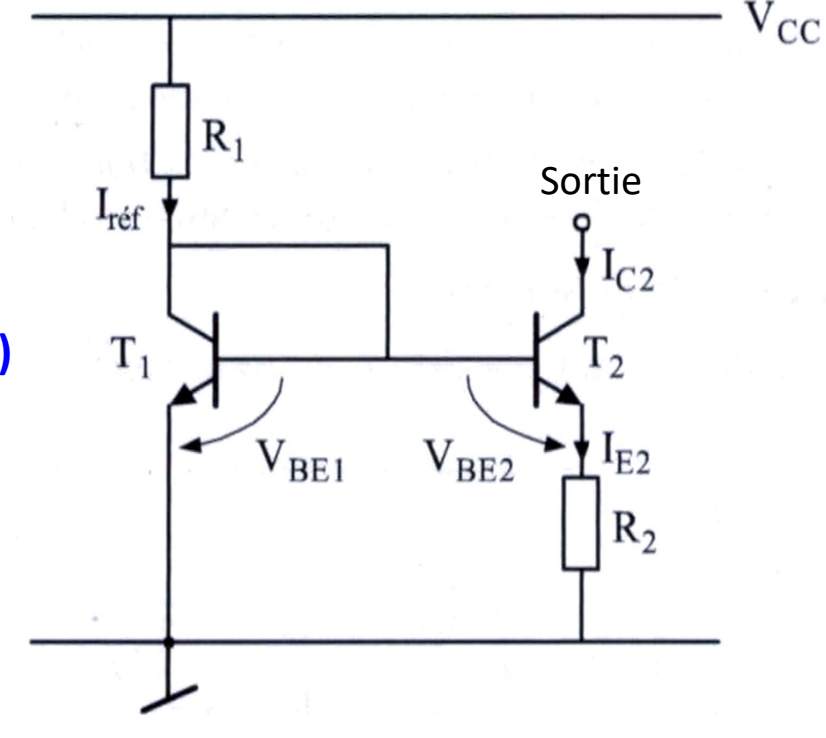
$$R_{\text{out}} = \frac{B_4}{g_{\text{ce}4}}$$

Miroir Widlar



Principe

 Permet de mirer de courants faibles (ex. une fraction d'un courant de référence)



- R2 permet de réduire considérablement le courant de sortie I_{C2} par rapport à $I_{\text{réf}}$
- l'impédance de sortie est plus élevée que celle du simple miroir à 2 transistors en raison de la présence d'une résistance dans l'émetteur du T2
- Comportement thermique moins bon à cause de la dissymétrie entre les tensions BE de T1 et T2

Courant de sortie

$$V_{BE1} = V_{BE2} + R_2 I_{E2} \approx V_{BE2} + R_2 I_{C2}$$

$$U_{T} \ln \frac{I_{C1}}{I_{S1}} = U_{T} \ln \frac{I_{C2}}{I_{S2}} + R_{2}I_{C2}$$

$$U_{\rm T} \ln \frac{I_{\rm C1}}{I_{\rm C2}} = R_2 I_{\rm C2}$$

En négligeant les courants de base:

$$I_{réf} = \frac{V_{CC} - V_{BE1}}{R_1} = I_{C1} (1 + \frac{2}{\beta})$$

$$U_T \, ln \, (\frac{I_{r\acute{e}f}}{I_{C2}} \,) = I_{C2} R_2 \quad \mbox{Eq. transcendante} \\ \mbox{(r\'esolution graphique ou it\'eration)}$$

Impédance de sortie

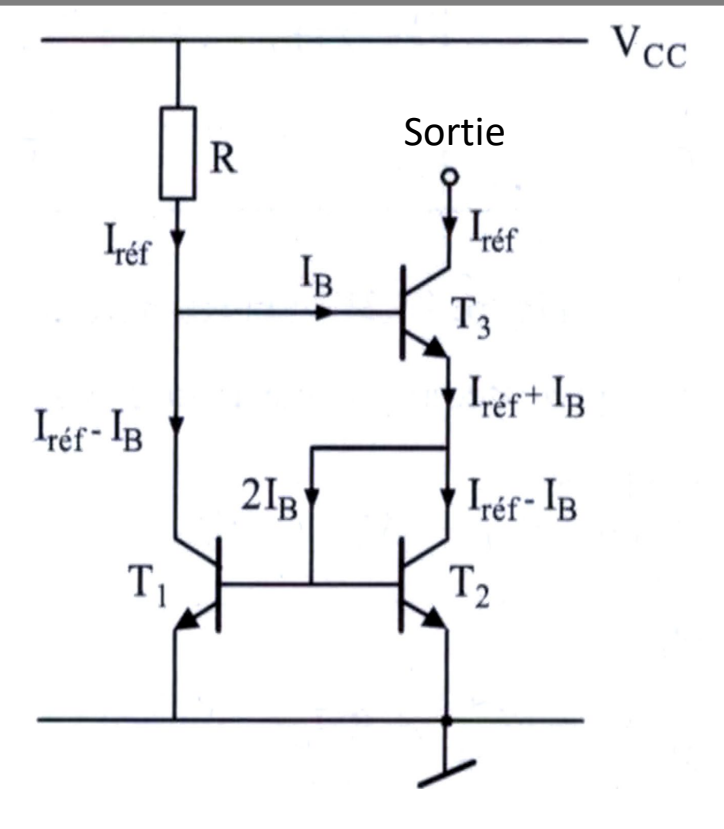
$$R_{out} = \frac{1}{g_{ce2}} + R_2$$

Miroir Wilson



Principe

• Utilise une boucle de contre-réaction



Caractéristiques intéressantes:

- Le courant de référence est reflète exactement à la sortie car les courants de base sont compensés
- Impédance de sortie très élevée grâce à la boucle de contre-réaction, comparable à celle du miroir cascode

Courant de sortie

$$I_{r\acute{e}f} = \frac{V_{CC}\text{-}V_{BE3}\text{-}V_{BE2}}{R} \ = \frac{V_{CC}\text{-}2U_{j}}{R}$$

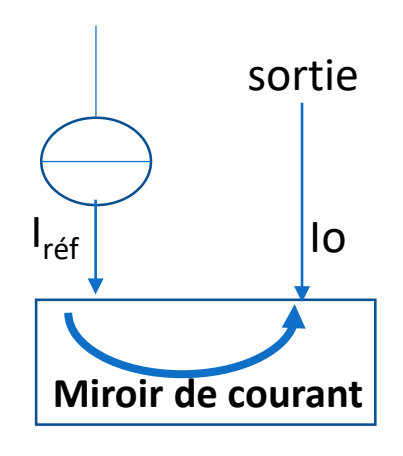
Impédance de sortie

$$R_{out} = \frac{\beta}{g_{ce3}}$$

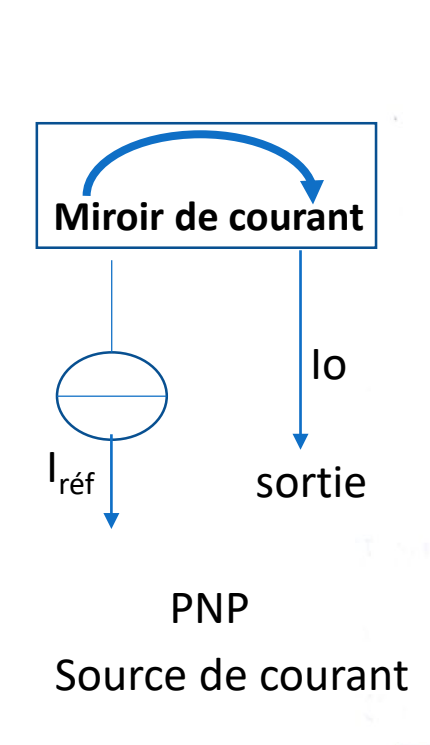
Miroir à sorties multiples

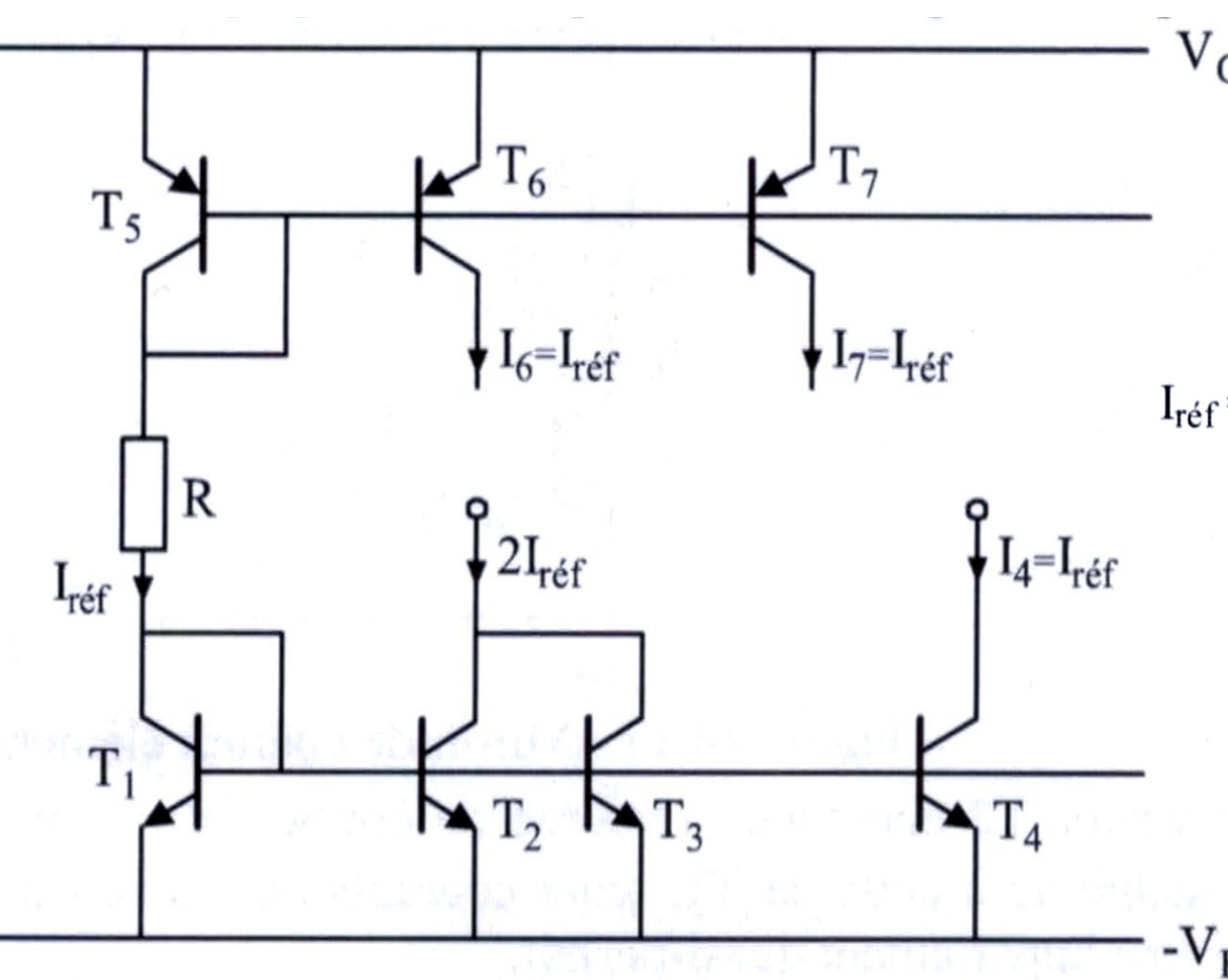


La complémentarité entre NPN et PNP permet de réaliser de sources de courant de signe opposé.



NPN Absorption de courant





Sommaire



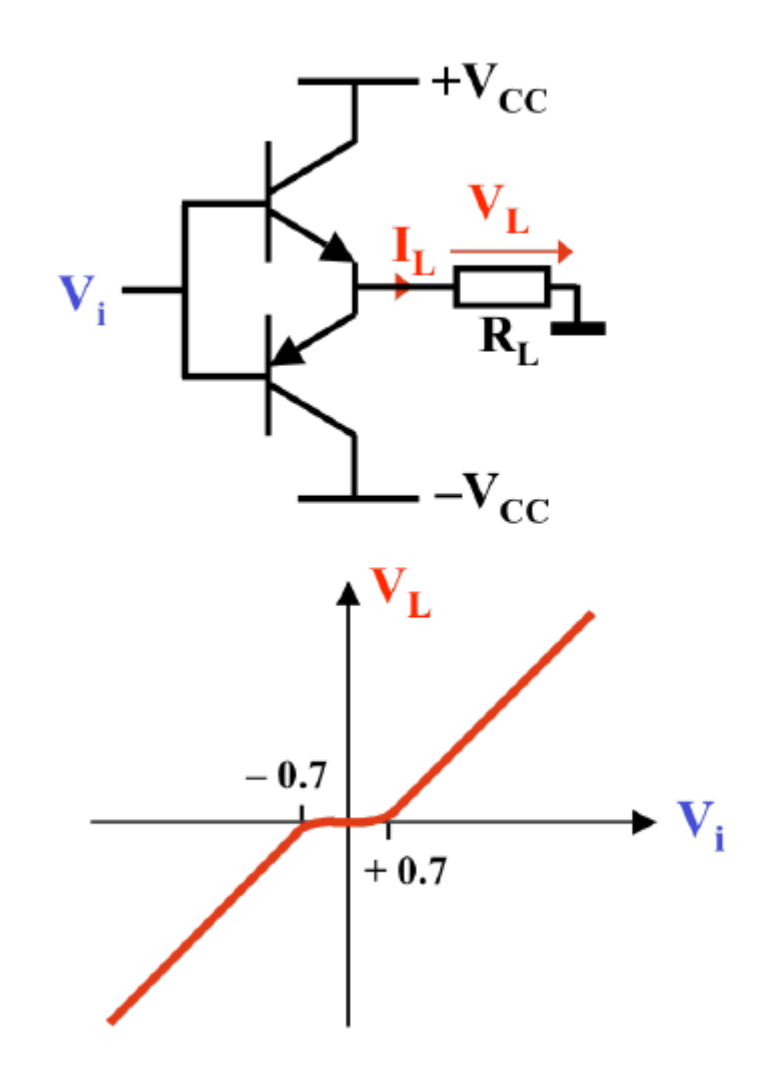
- Largement utilisé en circuits intégrés analogiques
- Plus compactes et précises que les résistances intégrés \rightarrow utilisés pour la polarisation des circuits pour réduire la sensibilité à la température et aux variations de V_{CC}
- Peuvent être utilisées comme charge actives → utilisé comme résistances de charge très élevée →
 gains en tensions très élevés
- Plusieurs courants peuvent être générés avec un effet 'miroir' d'une source référence (stable et performante)
- Les circuits de miroir de courant existent en deux types de base : la configuration à absorption de courant et la configuration à source de courant

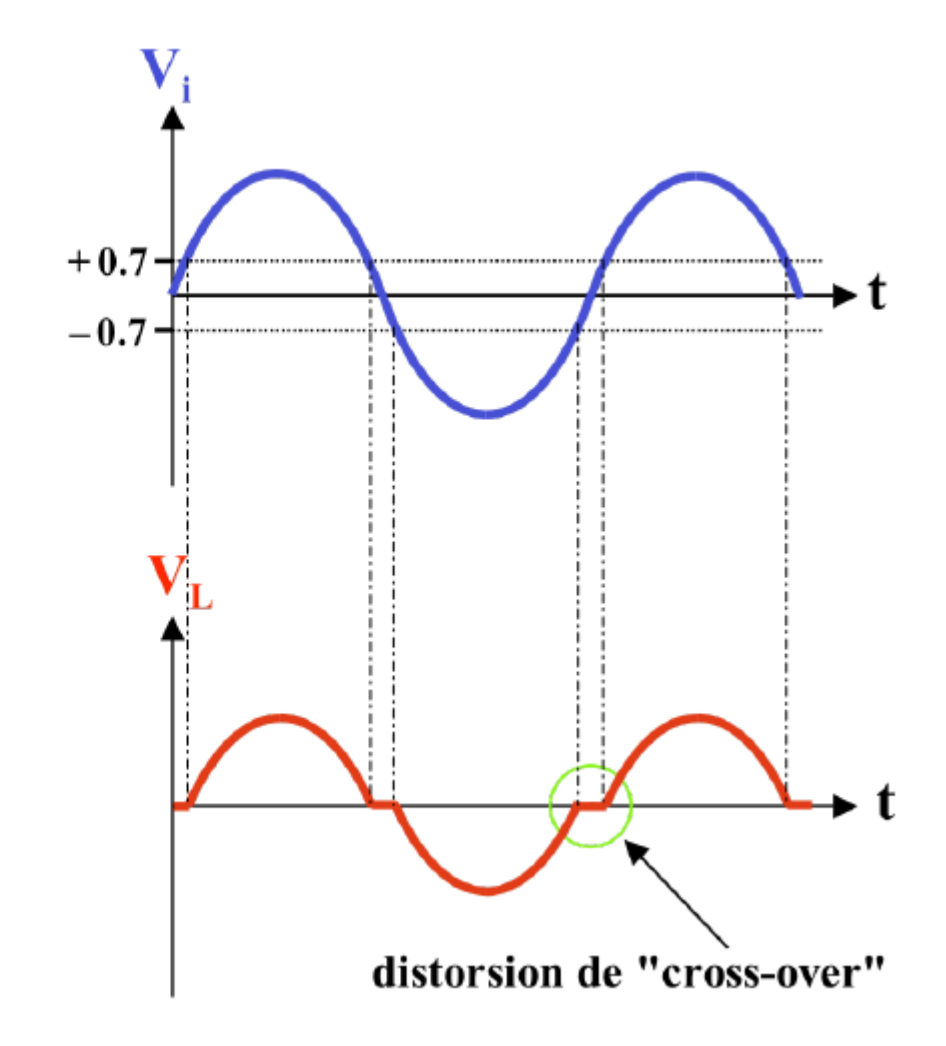
I. Structures analogiques de base

Amplificateur 'push-pull'

Amplificateur 'push-pull': principe

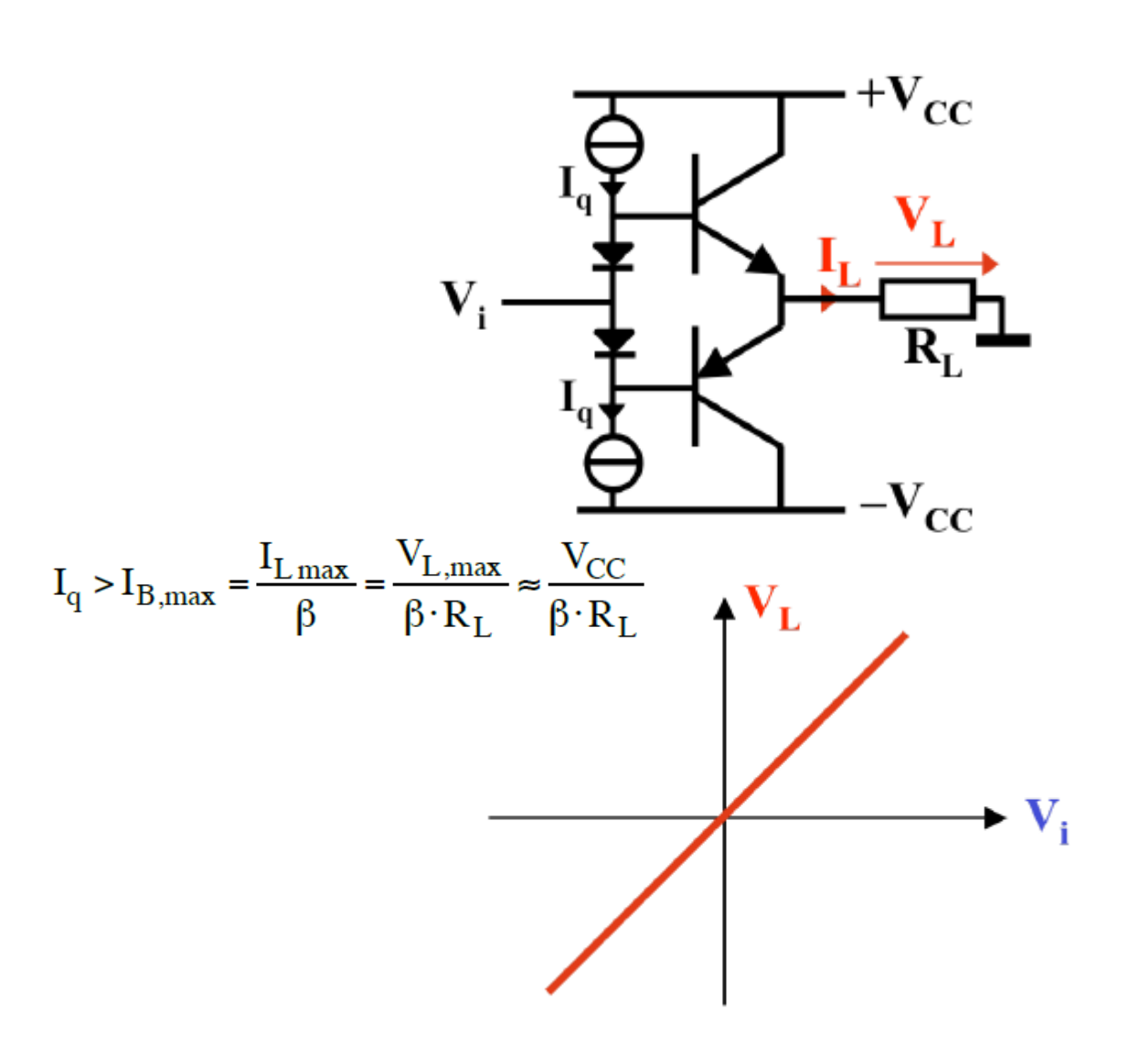


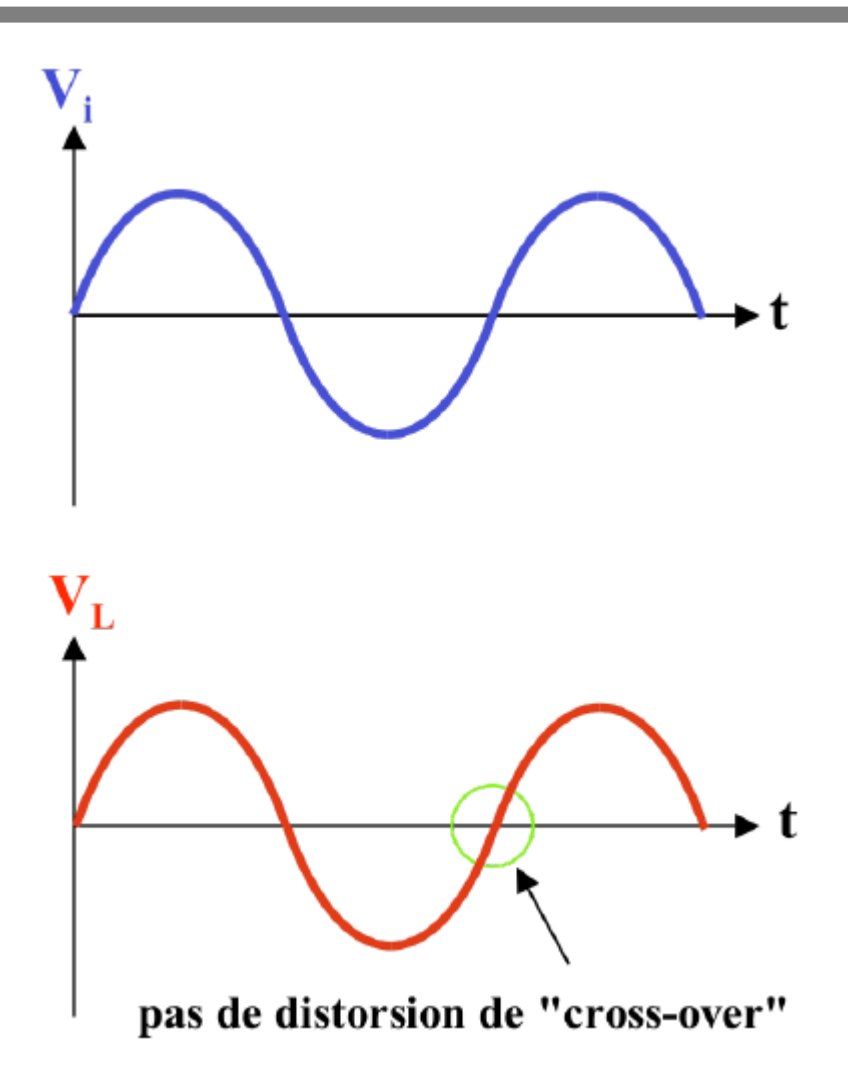




Amplificateur 'push-pull' linéarisé







I. Structures analogiques de base

Combinaisons de TB





